arXiv:1711.05436v1 [cond-mat.str-el] 15 Nov 2017

Необычный магнетизм решеток Кондо

В. Ю. Ирхин

8 марта 2024 г.

Аннотация

Дан обзор экспериментальной ситуации и теоретических представлений относительно необычного магнитного упорядочения плотных кондовских $4f$- и $5f$-систем, включая недавно исследованные тройные системы на основе церия, иттербия и актинидов. Оно характеризуется малым магнитным моментом и проявляет черты, характерные как для магнетиков с локализованными спинами, так и для систем с коллективизированными электронами. Особое внимание уделено ферромагнитным системам, а также конкуренции различных типов магнитного упорядочения. Рассмотрены методы теории возмущений и ренормгруппы, а также представление вспомогательных псевдофермионов для описания формирования основного состояния решеток Кондо. Обсуждается проблема нефермижидкостного поведения.

Содержание

1. Введение
2. Обсуждение экспериментальных данных
2.1 Цериевые системы
2.2 Актинидные системы
2.3 Иттербиевые системы
3. Модели, теория возмущений и ренормгруппа для решеток Кондо
4. Магнетизм и нефермижидкостное поведение. Многоканальная модель Кондо
5. Проблема основного состояния. Приближение среднего поля в представлении псевдофермионов
6. Заключение
Список литературы

1 Введение

Системы с тяжелыми фермионами (гигантскими значениями электронной теплоемкости) и другие $4f$- и $5f$-соединения с необычными свойствами остаются интереснейшими объектами исследований в многоэлектронной физике твердого тела: они представляют собой весьма нетривиальный пример сильно коррелированных систем, где реализуются экзотические состояния вещества. С точки зрения теории их обычно рассматривают как решетки Кондо или плотные (концентрированные) кондовские

системы, т.е. периодические решетки f-спинов, где взаимодействие с электронами проводимости приводит к экранированию и подавлению локализованных магнитных моментов и аномалиям электронных свойств [1] (инфракрасная катастрофа, впервые обнаруженная Кондо [2]). Для теоретического описания этих систем используется весь арсенал современных методов квантвой теории поля.

С другой стороны, экспериментальные исследования показывают, что среди таких соединений широко распространено магнитное упорядочение, часто с малым магнитным моментом, и/или развитые спиновые флуктуации. Для систем с «умеренно» тяжелыми фермионами (коэффициент в линейном члене теплоемкости γ порядка 100 мДж/моль К^2) достаточно типично сосуществование неполного кондовского экранирования с аномальным магнитным упорядочением (с резко подавленным, но ненулевым моментом). Особенно часто встречается антиферромагнитное упорядочение, хотя нередко и ферромагнитное. Библиографию и обсуждение ранних экспериментальных данных по конкретным соединениям и соответствующих теоретических представлений можно найти в книге [3] и статье [4].

Класс «кондовских» магнетиков характеризуют следующие особенности [4, 5]:

1. Логарифмическая температурная зависимость удельного сопротивления при $T > T_K$, присущая кондо-системам. Эта зависимость может быть получена в третьем порядке теории возмущений, как и в оригинальном подходе Кондо [2].

2. Малое значение магнитной энтропии в точке упорядочения по сравнению со значением $R \ln(2J+1)$ (R — универсальная газовая постоянная, J — номинальное значение магнитного момента), которое соответствует обычным магнетикам с локализованными моментами. Это явление связано с подавлением магнитной теплоемкости вследствие эффекта Кондо (экранирования моментов): лишь малая часть изменения энтропии связана с дальним магнитным порядком.

3. Упорядоченный магнитный момент μ_s мал по сравнению с высокотемпературным моментом μ_{eff}, найденным из постоянной Кюри. Последний имеет, как правило, нормальное значение, близкое к соответствующему значению для редкоземельного иона (например $\mu_{\text{eff}} \simeq 2{,}5\mu_{\text{B}}$ для иона Ce^{3+}). Такое поведение напоминает слабые коллективизированные (зонные) магнетики.

4. Парамагнитная точка Кюри θ, как правило, отрицательна (даже для ферромагнетиков) и заметно превышает по абсолютной величине температуру магнитного упорядочения. Такое поведение может быть обязано большому одноузельному кондовскому вкладу в парамагнитную восприимчивость χ, который доминирует над межузельными обменными взаимодействиями. В частности, интерполяционная формула из точного решения модели Кондо, справедливая при $0.5T_K < T < 16T_K$, имеет вид $\chi(T) = 0.17/(T + 1.5T_K)$, где T_K — температура Кондо по Вильсону [6]. С другой стороны, определенную роль могут играть фрустрации обменных взаимодействий.

Что касается «классических» систем с тяжелыми фермионами (с большим $\gamma > 400$ мДж/моль К^2 [7]), здесь ситуация сложнее. Существуют ясные свидетельства анти-

ферромагнетизма в UCd_{11} и U_2Zn_{17} с тем же порядком величины μ_s [7]. Для соединений UPt_3 и URu_2Si_2 моменты насыщения крайне малы: $\mu_s \simeq 2-3\cdot 10^{-2}\mu_B$. Признаки антиферромагнитного упорядочения с очень малым μ_s также наблюдалось для $CeAl_3$, UBe_{13}, $CeCu_2Si_2$, $CeCu_6$ (впрочем, ряд данных для этих систем подвергались сомнению, см. также обзор [8]).

Типичная особенность тяжелофермионных магнетиков — высокая чувствительность μ_s к внешним параметрам, таким, как давление и легирование малым количеством примесей. Например, UBe_{13} становится антиферромагнитным с заметным μ_s под давлением $P > 23$ кбар; напротив, $CeAl_3$ становится парамагнитным под давлением выше $P = 3$ кбар. Момент в UPt_3 увеличивается до значений порядка одного μ_B при замене 5 % Pt на Pd или 5 % U на Th. Ряд систем с тяжелыми фермионами претерпевают метамагнитные переходы в слабых магнитных полях с резким увеличением магнитного момента. Здесь характерно название обзора П. Коулмена [9]: «Тяжелые фермионы. Электроны на грани магнетизма».

В 1990-е годы был открыт еще одни класс f--электронных систем: для ряда соединений и сплавов на основе церия и урана было обнаружено нефермижидкостное (НФЖ) поведение [10, 11, 12]. Оно проявляется в необычных температурных зависимостях электронной теплоемкости $C(T)$ вида $T \ln T$ или $T^{1-\lambda}$ с малыми показателями λ, аномальном степенном поведении магнитной восприимчивости T^{ζ} ($\zeta < 1$) и сопротивления T^{μ} ($\mu < 2$), и т. д. Часто НФЖ поведение возникает на границе магнитного упорядочения (квантового фазового перехода) [8], хотя обсуждаются и его другие разнообразные механизмы.

В данном обзоре рассмотрены современные теоретические представления и экспериментальные данные по необычному магнитному упорядочению плотных кондовских f-систем и его проявлению в электронных свойствах, включая нефермижидкостное поведение.

2 Экспериментальные результаты

Имеются многочисленные примеры соединений, где кондовские аномалии в термодинамических и кинетических свойствах сосуществуют с магнитным упорядочением, а момент насыщения μ_s имеет величину порядка магнетона Бора. Это ферромагнетики CePdSb, $CeSi_x$, Sm_3Sb_4, Ce_4Bi_3, $NpAl_2$, антиферромагнетики $CeAl_2$, TmS, CeB_6, $UAgCu_4$ (см. более подробное обсуждение в [3]); встречаются и системы с более экзотическими магнитными свойствами. Ниже будут приведены последние результаты по магнетизму кондовских систем.

2.1 Цериевые системы

После активного исследования классических систем с тяжелыми фермионами и решеток Кондо, в 1980-е годы настало время для рассмотрения тройных систем. Один из наиболее ярких примеров здесь — кондовский ферромагнетик $CeRh_3B_2$ с с температурой Кюри $T_C = 115$ K, парамагнитной температурой Кюри $\theta = -370$ K [13] и сравнительно небольшим $\gamma = 16$ мДж/моль $\cdot$ K^2.

Постоянно обнаруживаются новые антиферромагнитные системы с низкой температурой Нееля и редуцированным моментом основного состояния, например $Ce_8Pd_{24}Ga$ ($T_N = 3.6$ K, $\mu_s = 0.36\mu_B$/ат. Ce [14]), слоистые системы Ce_3(Pd,Pt)In_{11} [15].

Растет и число кондовских феррмагнетиков: CePt [16], $CeRu_2Ge_2$ [17], $CeAgSb_2$, [18], CeRuPO [19], $CeRu_2M_2X$ (M = Al, Ga; X = B, C) [20, 21], $CeIr_2B_2$ [22], гидрогенированный CeNiSn [23], $CeFe_4Sb_{12}$ [24], $Ce_4Sb_{1.5}Ge_{1.5}$ ($T_C = 13$ K, $\theta = -9$ K) [25].

В системе $Ce_{1-x}La_xPdSb$, где имеется высокотемпературный логарифмический вклад в сопротивление, ферромагнитное кондо-состояние постепенно переходит в НФЖ в области $x > 0.7$, причем последнее по-видимому носит одноузельный характер [26].

Хороший пример конкуренции эффекта Кондо, антиферро — и ферромагнетизма дает система $(Ce_{1-x}Nd_x)_3Al$ [27]. Здесь при $x > 0.2$ антиферромагнитное упорядочением сменяется ферромагнитным, причем при низких температурах эффект Кондо и ферромагнетизм сосуществуют при $0.2 < x < 0.3$.

В работах [28, 29, 30] был исследован ряд соединений $CeRu_2X_2M$ (X=Al, Ga и M=B, C), которые демонстрируют ферромагнетизм с T_C от 12.8 K ($CeRu_2Al_2B$) до 17.2 K ($CeRu_2Ga_2C$). Электронная теплоемкость этих систем невелика (γ около 30 мДж/моль K^2), так что проявления эффекта Кондо являются слабыми. Согласно [31], в системе $CeRu_2A_2B$ при $T_C < T < T_N = 14.2K$ имеется несоизмеримый магнитный порядок. Последний возникает и в ряде других кондовских цериевых систем, например, в $CeAu_2Ge_2$ [32], $Ce_2M_mIn_{3n+2m}$ [33].

В системе $CeCd_{0.7}Sb_2$ [34] наблюдается сильно анизотропный ферромагнетизм с $T_C = 3$K и отрицательной парамагнитной температурой Кюри $\theta = -24$K, причем при $T_N = 0.8$ K происходит переход в антиферромагнитное состояние. Аналогичная ситуация имеет место в системе $CeZn_{0.66}Sb_2$ [35] ($T_C = 3.6$ K, $T_N = 0.8$ K, $\theta = -11$ K).

Тройные интерметаллические соединения на основе церия типа $CeTX_2$ (T – переходный металл, X = Si, Ge, Sn) интересны благодаря необычным свойствам их основного состояния. В частности, $CePtSi_2$ – система с тяжелыми фермионами, где значение коэффициента Зоммерфельда достигает $\gamma = 1.7$ Дж/моль K^2 при 1.25 K [36], $CeRhSi_2$ [37] и $CeNiSi_2$ [38] – системы с сильными валентными флуктуациями. Описание таких интерметаллидов должны строиться на основе учета ряда факторов: окружения церия, гибридизации 4f-уровня с зоной проводимости, величины констант обменного взаимодействия.

Система $CeRuSi_2$ была подробно исследована в работах [39, 40, 41, 42]. Сосуществование эффекта Кондо и ферромагнетизма с малыми моментами порядка $0.1\mu_B$, возникающего ниже 11.2 K, подтверждается как исследованием кинетических свойств [41], так и мюонными измерениями [40]). Полевые зависимости намагниченности вплоть до очень сильных полей 150 T показали отсутствие насыщения намагниченности, что напоминает поведение слабых коллективизированных магнетиков. На рис. 1 показано температурное изменение теплоемкости $CeRuSi_2$ [42]. На фоне достаточно высокой электронной теплоемкости магнитная теплоемкость имеет λ-пик в районе 11 K (соответствующее изменение энтропии $\Delta\mathcal{S} = 2.7$ Дж/ моль K

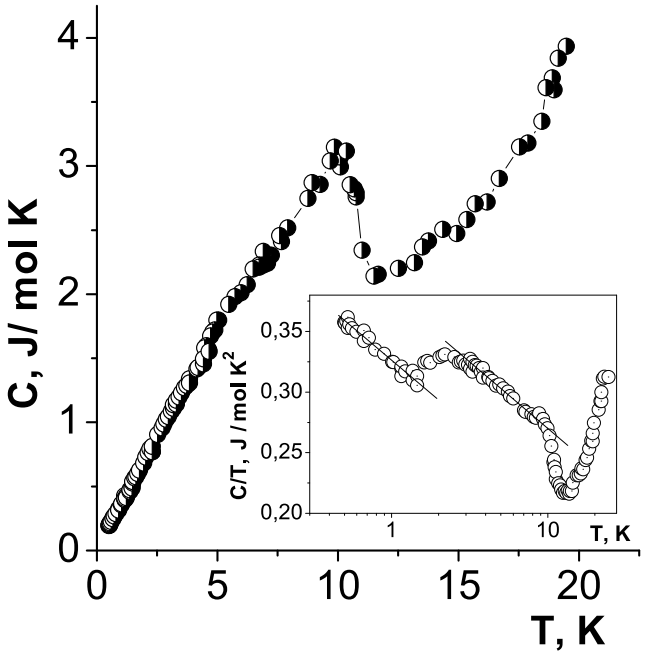


Рис. 1: Поведение теплоемкости $CeRuSi_2$. На вставке – теплоемкость в логарифмическом масштабе

$= 0.5\ R\ln 2$). Значение коэффициента Зоммерфельда, полученное путем стандартной экстраполяции зависимости C/T (выше температуры 20 K), составляет $\gamma \simeq 140$ мДж/моль K^2, что соответствует умеренно тяжелым фермионам. При низких температурах γ растет и имеются указания на логарифмическое нефермижидкостное поведение теплоемкости, что особенно интересно для стехиометрического соединения (аномалия вблизи $T = 2$ K может быть связана с влиянием кристаллического поля).

В работе [42] был также исследован большой набор соединений $CeRuX_2$, $CeRu_2X_2$, $Ce_2Ru_3X_5$ и $CeRuX_3$ (X = Si, Ge). В системе $CeRu_2Si_2$ не наблюдается магнитного упорядочения, но есть кондовский максимум сопротивления при температуре 50 K (в $CeRuSi_2$ он гораздо выше – при 150 K). Это различие вероятно связано с более низкой температурой Кондо (объем элементарной ячейки в $CeRu_2Si_2$ существенно больше). Следует отметить, что метамагнетизм, ранее обсуждавшийся для $CeRu_2Si_2$, теперь рассматривается как непрерывный кроссовер [43, 44], причем коллективизированный характер 4f-электронов сохраняется до очень сильных полей около 50 T [44], что напоминает ситуацию в $CeRuSi_2$.

2.2 Иттербиевые системы

Особенно часто ферромагнитное упорядочение в сочетании с проявлениями эффекта Кондо встречается в тройных системах на основе иттербия. Иногда оно связано с формированием неколлинеарной магнитной структуры – например, в YbNiSn возникает малый скошенный ферромагнитный момент [45].

В ряде аномальных иттербиевых систем наблюдается линейное по температуре

сопротивление, свидетельствующее о нефермиждкостном поведении. Интересно, что подобное аномальное поведение сопротивления наблюдается и в системе $YbMn_2Sb_2$ с немагнитным иттербием, где обычный эффект Кондо должен отсутствовать. Эти аномалии могут быть связаны с рассеянием на псевдоспиновых степенях свободы [46].

В работе [47] были получены и исследованы новые тройные соединения на основе иттербия: $YbPd_2Ge$, $YbPd_2Si$, YbPdGe, YbPdSi, YbPtGe, а также $YbPdGe_2$ и ранее известное соединение $YbPd_2Si_2$. Из гальваномагнитных свойств и магнитной восприимчивости было обнаружено, что германиевые соединения YbPdGe, YbPtGe и $YbPd_2Ge$ при низких температурах (вблизи 16, 10, и 12 K соответственно) демонстрируют ферромагнитное упорядочение.

В более поздних работах результаты по магнитным и термодинамическим свойствам были дополнены. В работе [48] для YbPtGe были найдены значения $T_C = 5.4$K, γ =209 мДж/моль K^2 ниже T_C. Магнитная энтропия в T_C составляла $0.52\ R \ln 2$. Для YbPdGe в [49] были получены значения $T_C = 11.4$ K и $\gamma = 150$ мДж/моль K^2; ситуация в этой системе напоминает $CeRuSi_2$.

В работе [50] обсуждаются различные проявления Кондо в YbPdGe и YbPtGe, включая логарифмический вклад в сопротивление, и проводится сравнение кинетических свойств с соответствующими цериевыми системами CePdGe и CePtGe (формально трехвалентные ионы церия и иттербия схожи, поскольку соответствуют одному электрону или дырке в 4f-оболочке). Как показано в [51], соединения CeTX (T = Pd и Pt, X = Ga, Ge и Sn) являются кондовскими системами, антиферромагнитными при низких температурах – в противоположность YbTGe. В обзоре [52] различие этих случаев подробно обсуждается на примере $YbRh_2Si_2$ – типичного антиферромагнитного соединения иттербия с тяжелыми фермионами. Несмотря на сходство с $CeRh_2Si_2$ (близкие значения температуры Кондо T_K и амплитуды максимума сопротивления, линейность сопротивления выше T_N), имеются и заметные различия, которые можно связать с большей локализацией (меньшей степени гибридизации с электронами проводимости), а также более сильным спин-орбитальным взаимодействием в случае 4f-орбиталей иттербия.

Согласно работе [53], система YbPdSi является тяжелофермионным ферромагнетиком с $T_C = 8$ K и γ около 300 мДж/моль K^2. Исследование соединений YbTGe (T=Rh, Cu, Ag) [54] показало, что YbRhGe является антиферромагнетиком с $T_N = 7$ K, YbCuGe – ферромагнетиком с моментом $0.7\mu_B$ и $T_C = 8$ K; в YbAgGe было найдено очень большое γ =570 мДж/моль K^2. Впоследствии в YbAgGe было обнаружено низкотемпературное неколлинеарное магнитное упорядочение [55]. Согласно [56], YbAgGe – фрустрированный тяжелофермионный антиферромагнетик со сложной магнитной фазовой диаграммой, проявляющий НФЖ поведение. В антиферромагнитной системе $Yb(Rh_{1-x}Co_x)_2Si_2$ был обнаружен ферромагнетизм при $x = 0.27$ ниже $T_C = 1.3$ K с моментом $0.1\mu_B$ [57].

Системы $Yb_2(Pd_{1-x}Ni_x)_2Sn$ [58] и $Yb_2Pd_2In_{1-x}Sn_x$ [59] демонстрируют фрустрированный магнетизм – необычное магнитное упорядочение возникает при легировании. В последней системе упорядочение возникает в узкой области вблизи $x = 0.6$ на фоне нефермижидкостного поведения.

В квазиодномерной системе $YbNi_4P_2$ был обнаружен экзотический ферромагнетизм с $T_C = 0.17$ K и крайне малым моментом насыщения 0.05 μ_B [60]. При этом сопротивление линейно выше T_C, а коэффициент γ расходится сильнее, чем логарифмически.

2.3 Актинидные системы

Металлы группа урана проявляют сильную тенденцию к паулиевскому парамагнетизму в силу своей электронной структуры. Однако их магнетизм может существенно усиливаться в соединениях с переходными металлами: как благодаря увеличению межатомного расстояния (согласно критерию Хилла, это способствует формированию локализованных моментов), так и увеличению плотности состояний вблизи уровня Ферми [61]. Важным отличием аномальных урановых соединений от цериевых является более сильная делокализация 5f-электронов, что отражается и на спектре спиновых флуктуаций, которые становятся более сильными [62].

Сосуществование кондовских аномалий и дальнего магнитного порядка в соединениях актинидов не является редким. В ряде актинидных систем ферромагнитное упорядочение сосуществует с кондовскими логарифмическими вкладами в сопротивление (см. также обсуждение в [63]). Вот некоторые примеры: UTe ($T_C = 102$ K [64]), UAsSe ($T_C = 109$ K [65]), $UCu_{0.9}Sb_2$ ($T_C = 113$ K [66]), $UCo_{0.5}Sb_2$ ($T_C = 64.5$ K [67]), $UNiSi_2$ ($T_C = 95$ K [68]), $NpNiSi_2$ ($T_C = 51.5$ K [69]). В соединении Np_2PtGa_3 ($T_C = 26$ K) наблюдается высокое значение $\gamma = 180$ мДж/моль Np K^2 [70].

Система UIr_2Zn_{20} [71] по праву может быть названа ферромагнитной системой с тяжелыми фермионами. Здесь γ= 450 мДж/моль K^2 и остается высокой ниже точки Кюри $T_C = 2.1$ K, а момент насыщения составляет $0.4\mu_B$.

В соединении UAu_2Si_2 ниже ($T_C = 19$ K наблюдается нескомпенсированный антиферромагнетизм со спонтанной намагниченностью вдоль оси c, причем при низких температурах γ= 180 мДж/моль K^2 [72].

Ряд актинидных систем демонстрируют нефермидкостное поведение. В системе $Th_{1-x}U_xCu_2Si_2$ [73, 12] НФЖ поведение (C/T пропорционально $\ln T$, а сопротивление линейно по температуре) возникает в области составов, где ферромагнетизм подавлен.

Соединение URhGe ферромагнитно. В сплаве $URh_{1-x}Ru_xGe$ [74] критическая концентрация подавления магнитного порядка равна $x_{cr} = 0.38$, температура Кюри обращается в нуль по линейному закону с ростом x, а ферромагнитный момент μ_s исчезает непрерывным образом ($\mu_s = 0.4\mu_B$ для $x = 0$). В точке x_{cr} теплоемкость ведет себя как $T \ln T$, а показатель в степенной зависимости сопротивления от температуры достигает минимума $\mu = 1.2$. Полная магнитная энтропия, полученная интегрированием C/T, составляет $0.48R \ln 2$ для $x = 0$ и падает до $0.33R \ln 2$ при x_{cr}.

В то же время соединение NpRhGe [75] является антиферромагнетиком с $T_N =$ 21 K, упорядоченным моментом $\mu_{\rm Np} = 1.14\mu_B$ и высоким значением $\gamma = 195$ мДж/моль K^2.

В системе UCoGe ферромагнетизм также сменяется НФЖ состоянием при замене кобальта рутением [76].

Еще один пример нефермижидкостного поведения в ферромагнитной фазе дает тяжелофермионная система $URu_{2-x}Re_xSi_2$ [77]. В ней были обнаружены малый момент основного состояния $\mu_s = 0.44\ \mu_B$ и зависимости $-\ln T$ (или $T^{-0.1}$) для C/T и T^μ с $\mu = 1.2$ для сопротивления в широком интервале температур ниже 20 K для $x = 0.6$. В то же время аномалий теплоемкости и сопротивления в точке магнитного перехода здесь не наблюдалось.

Получение чистых кристаллов UGe_2 и в последнее время из URhGe привело к открытию ферромагнитных сверхпроводников. Считается, что решающее значение для сосуществования ферромагнетизма и сверхпроводимости имеет триплетное спаривание [52, 74, 78].

3 Модели, теория возмущений и ренормгруппа для решеток Кондо

Долгое время считалось, что конкуренция межузельного обменного РККИ-взаимодействия и эффекта Кондо должна привести к формированию или обычного магнитного упорядочения с большими атомными магнитными моментами (как в чистых редкоземельных металлах), или немагнитного состояния Кондо с подавленными магнитными моментами [1]. Это рассуждение основывалось на критерии Дониаха [79], в котором сравниваются энергетические масштабы этих фаз. Однако приведенные выше экспериментальные данные заставили пересмотреть эту точку зрения и привели к развитию более сложных теоретических подходов.

Рассмотрим гамильтониан $s-f$ обменной модели,

$$H = H_s + H_f + H_{\rm int} = \sum_{\mathbf{k}m\sigma} t_{\mathbf{k}} c^\dagger_{\mathbf{k}m\sigma} c_{\mathbf{k}m\sigma} - \sum_{\mathbf{q}} J_{\mathbf{q}} \mathbf{S}_{-\mathbf{q}} \mathbf{S}_{\mathbf{q}} - I \sum_{im\sigma\sigma'} (\mathbf{S}_i \boldsymbol{\sigma}_{\sigma\sigma'}) c^\dagger_{im\sigma} c_{im\sigma'}, \quad (1)$$

где $c^\dagger_{\mathbf{k}m\sigma}$, $c_{\mathbf{k}m\sigma}$ – операторы электронов проводимости, $t_{\mathbf{k}}$ — затравочная зонная энергия, $\mathbf{S}_i$ – операторы локализованных спинов, $\boldsymbol{\sigma}$ — матрицы Паули, I — параметр s–f обменного взаимодействия. Часто (например, в редкоземельных металлах) $f-f$ взаимодействие между локализованными спинами $J_{\mathbf{q}}$ является косвенным РККИ-обменом через электроны проводимости, причиной которого служит то же самое s—f взаимодействие (хотя в ряде соединений может играть важную роль и сверхобменное взаимодействие). Однако при построении теории возмущений удобно включить $f-f$ взаимодействие в нулевой гамильтониан (такая модель получила в зарубежной литературе название модели Кондо-Гейзенберга).

В отличие от внутриатомного кулоновского (хаббардовского) взаимодействия, $s-f$ обменное взаимодействие как правило не является сильным, однако приводит к существенным эффектам в электронном спектре. С микроскопической точки зрения оно может иметь различную природу. В ряде редкоземельных систем (например, в магнитных полупроводниках) это внутриатомный хундовский обмен, который ферромагнитен. В редкоземельных соединениях $s-f$ обмен часто является не настоящим, а эффективным – обусловленным гибиридизацией между s-зонами проводимости и атомными уровнями f-электронов; в этом случае он антиферромагнитен

($I < 0$). Последнее является необходимым для возникновения эффекта Кондо: при этом условии эффективное (перенормированное) обменное взаимодействие становится бесконечным в режиме сильной связи, так что магнитное рассеяние приводит к полному экранированию магнитных моментов [81, 6].

В гамильтониане (1) для общности учтено орбитальное вырождение: введен индекс $m = 1 \dots M$, где M – число каналов рассеяния электронов проводимости, которое может быть дополнительным формальным большим параметром при построении теории возмущений. Как впервые показали Нозьер и Бландин при анализе расщепления уровней в кристаллическом поле в случае одной кондовской примеси [82], скейлинговое поведение существенно зависит от соотношения величины локализованного спина и орбитального вырождения электронов. В случае $S > M/2$ имеем ситуацию недокомпенсации (неполного экранирования), когда в режиме сильной связи $S \to S - M/2$. При $S = M/2$ имеем обычный эффекта Кондо (полное экранирование, формирование тяжелой ферми-жидкости), а случай $S < M/2$ (перекомпенсация) наиболее сложен – здесь возникает нетривиальная фиксированная точка и нефермижидкостное поведение уже в однопримесном режиме.

В более общей $SU(N) \otimes SU(M)$ модели мы имеем $\sigma = 1...N$ и гамильтониан записывается как [80]

$$H = \sum_{\mathbf{k}m\sigma} t_{\mathbf{k}} c^{\dagger}_{\mathbf{k}m\sigma} c_{\mathbf{k}m\sigma} - I \sum_{im\sigma\sigma'} |i\sigma'\rangle\langle i\sigma| c^{\dagger}_{im\sigma} c_{im\sigma'} + H_f \qquad (2)$$

При $N = 2$ мы возвращаемся к $s - f$ модели со спином $S = 1/2$, а случай $M = N$ соответствует модели Коблина-Шриффера, где также имеет место полная компенсация. Более реалистическая модель, включающая угловые моменты, обсуждается в [5]; возможно и обобщение на случай произвольного спина S (см, напр., [80, 83]).

Обсудим различные возможности формирования магнитного состояния. Самым простым механизмом является возникновение режима недокомпенсации магнитных моментов ($S > M/2$ при $N = 2$). По-видимому, он реализуется в некоторых ферромагнитных урановых соединениях, где эффект Кондо заметно проявляется только в парамагнитной фазе [63].

Более обычна ситуации полной компенсации $S = M/2$, которая естественно возникает в реальных системах со сложной электронной структурой и вырожденными зонами. Здесь относительные роли эффекта Кондо и межузельного РККИ-взаимодействия задаются величинами двух энергетических масштабов: температуры Кондо $T_{\mathrm{K}} \sim D \exp(1/2I\rho)$ ($\rho = \rho(E_F)$ – затравочная плотность состояний на уровне Ферми, D – ширина зоны проводимости), которая определяет кроссовер между режимом свободных моментов и областью сильной связи, и $T_{\mathrm{RKKY}} \sim I^2\rho$. Последняя величина имеет порядок температуры магнитного упорядочения T_{M} в отсутствие эффекта Кондо. Отношение $T_{\mathrm{K}}/T_{\mathrm{M}}$ может изменяться в зависимости от внешних параметров и состава системы при легировании.

В немагнитном случае $T_{\mathrm{RKKY}} \sim \overline{\omega}$, где $\overline{\omega}$ — характерная частота спиновых флуктуаций. Для большинства обсуждаемых соединений $T_{\mathrm{K}} > T_{\mathrm{RKKY}}$. Однако существуют также аномальные магнетики, содержащие церий и уран, с $T_{\mathrm{K}} \ll T_{\mathrm{N}}$, например $CeAl_2Ga_2$, $UAgCu_4$. Аналогичная ситуация имеет место в ферромагнитных системах

$CeRu_2X_2M$ [28, 29]. Этот случай близок к элементарным редкоземельным магнитным металлам, где эффект Кондо практически полностью подавлен магнитным упорядочением и дает лишь малые поправки к магнитному моменту.

В качестве первого шага к описанию формирования состояния кондовского магнетика полезно рассмотреть поправки теории возмущений к магнитным характеристикам [84, 5]. При этом, в отличие от однопримесной проблемы Кондо, следует учесть эффекты межпримесного обменного взаимодействия, которое приводит к возникновению спиновой динамики. Вычисление магнитной восприимчивости приводит к результату

$$\chi = \frac{S(S+1)}{3T}(1-4I^2L),\ L = \frac{MN/2}{S(S+1)}\sum_{\mathbf{pq}}\int K_{\mathbf{p-q}}(\omega)\frac{n_{\mathbf{p}}(1-n_{\mathbf{q}})}{(t_{\mathbf{q}}-t_{\mathbf{p}}-\omega)^2}\,d\omega \qquad (3)$$

где $K_{\mathbf{q}}(\omega)$ – спиновая спектральная плотность.

Из простой логарифмической оценки интеграла в (3) следует

$$\chi = \frac{S(S+1)}{3T}\left(1 - MNI^2\rho^2 \ln\frac{D^2}{T^2+\overline{\omega}^2}\right), \qquad (4)$$

где величина в скобках описывает подавление эффективного момента.

Кондовские поправки к магнитному моменту в ферро- и антиферромагнитном состояниях получаются с использованием стандартного спин-волнового результата

$$\delta\overline{S} = -\sum_{\mathbf{q}} N_{\mathbf{q}},\ N_{\mathbf{q}} = \langle b^{\dagger}_{\mathbf{q}} b_{\mathbf{q}}\rangle \qquad (5)$$

подстановкой поправки к числам заполнения магнонов $N_{\mathbf{q}}$ при нулевой температуре, которая обусловлена затуханием спиновых волн вследствие рассеяния на электронах проводимости. В случае ферромагнетика имеем (здесь для простоты $N = 2, M = 1$)

$$\delta N_{\mathbf{q}} = 2I^2 S\sum_{\mathbf{k}}\frac{n_{\mathbf{k}\downarrow}(1-n_{\mathbf{k-q}\uparrow})}{(t_{\mathbf{k}\downarrow}-t_{\mathbf{k-q}\uparrow}-\omega_{\mathbf{q}})^2}, \qquad (6)$$

где $n_{\mathbf{k}\sigma}$ – числа заполнения электронов (фермиевские функции). Вычисление как для ферромагнетика, так и антиферромагнетика дает [5, 85]

$$\delta\overline{S}/S = -MNI^2\rho^2 \ln\frac{D}{\overline{\omega}}. \qquad (7)$$

Эти поправки к моменту в основном состоянии возникают в любых проводящих магнетиках, включая чистые f-металлы. Однако в последнем случае они должны быть малы (порядка 10^{-2}).

Поправки к электронным характеристикам могут быть вычислены анлогичным образом; в электронной собственной энергии $\Sigma_{\mathbf{k}}(E)$ кондовские вклады третьего порядка (определяющие перенормировку $s-f$ обменного параметра) также обрезаются на $\overline{\omega}$. Следует отметить, что при наличии спиновой динамики расходимости кондовского типа в $\Sigma_{\mathbf{k}}(E)$ возникают уже в членах второго порядка, которые дают вклад

в усиление эффективной массы [84]. Формально эти расходимости связаны с функцией Ферми, а соответствующие вклады аналогичны электрон-фононной или спин флуктуационной (парамагнонной) перенормировке.

В целях получения самосогласованной картины для магнетика с заметными кондовскими перенормировками нужно вычислить поправки к характерным частотам спиновых флуктуаций $\overline{\omega}$. В парамагнитной фазе оценка поправки второго порядка к динамической восприимчивости дает [86]:

$$\omega_{\mathbf{q}}^2 = \frac{4}{3} S(S+1) \sum_{\mathbf{p}} (J_{\mathbf{q}-\mathbf{p}} - J_{\mathbf{p}})^2 [1 - 4I^2 L(1-\alpha_{\mathbf{q}})]. \tag{8}$$

Здесь величина L определена в (3),

$$\alpha_{\mathbf{q}} = \sum_{\mathbf{R}} J_{\mathbf{R}}^2 \left(\frac{\sin k_{\mathrm{F}} R}{k_{\mathrm{F}} R} \right)^2 [1 - \cos \mathbf{qR}] \Bigg/ \sum_{\mathbf{R}} J_{\mathbf{R}}^2 [1 - \cos \mathbf{qR}], \tag{9}$$

сумма идет по векторам решетки. Поскольку $0 < \alpha_{\mathbf{q}} < 1$, эффект Кондо приводит к уменьшению $\overline{\omega}(T)$ при понижении температуры. В приближении ближайших соседей (с периодом решетки d) для $J(\mathbf{R})$ значение α не зависит от $\mathbf{q}$, так что $\alpha = \sin^2(k_{\mathrm{F}} d)/(k_{\mathrm{F}} d)^2$. Вычисление поправок к частоте спиновых волн в ферромагнитной и антиферромагнитной фазе вследствие магнон-магнонного взаимодействия, а также электрон-магнонного рассеяния приводит к результату [5, 85]

$$\delta\omega_{\mathbf{q}}/\omega_{\mathbf{q}} = -2MNI^2\rho^2 a \ln \frac{D}{\overline{\omega}}, \tag{10}$$

где множитель a зависит от типа магнитного упорядочения.

Приведенные результаты теории возмущений дают возможность качественного описания состояния кондо-решетки как магнетика с малым магнитным моментом [86]. Будем понижать температуру, стартуя с парамагнитного состояния. При этом магнитный момент «компенсируется», но, в отличие от однопримесной ситуации, степень компенсации определяется $(T^2+\overline{\omega}^2)^{1/2}$ вместо T. В то же время сама $\overline{\omega}$ уменьшается согласно (8). Этот процесс не может быть описан аналитически в рамках теории возмущений. Однако, если иметь в виду образование единого универсального энергетического масштаба порядка T_{K}, то нужно выбрать $\overline{\omega} \sim T_{\mathrm{K}}$ при $T < T_{\mathrm{K}}$. Последний факт подтверждается большим числом экспериментальных данных относительно квазиупругого нейтронного рассеяния в кондо-системах, которые показывают, что при низких температурах типичная ширина центрального пика $\Gamma \sim \overline{\omega}$ имеет тот же самый порядок величины, что и фермиевская температура вырождения, определенная из термодинамических и кинетических свойств, т. е. T_{K}. Следовательно, процесс компенсации магнитного момента завершается где-то на границе области сильной связи и приводит к состоянию с конечным (хотя, возможно, и малым) моментом насыщения μ_s.

Более последовательное рассмотрение проблемы магнетизма решеток Кондо может быть выполнено в рамках подхода ренормгруппы. В простейшей форме андерсоновского «скейлинга для бедных» (poor man scaling) [87] ренормгрупповые уравнения для эффективного $s-f$ параметра и $\overline{\omega}$ записываются на основе рассмотрения

интегралов по импульсам в многоэлектронных кондовских поправках к электронной собственной энергии и частоте спиновых флуктуаций [88, 5, 89].

Чтобы построить процедуру скейлинга, нужно выделить вклады от энергетического слоя $C < E < C + \delta C$ около уровня Ферми $E_{\mathrm{F}} = 0$. Например, в случае ферромагнетика из эффективного расщепления в электронном спектре, определяемого из собственной энергии второго порядка,

$$2I_{\mathrm{eff}}S = 2IS - \left[\Sigma^{\mathrm{FM}}_{\mathbf{k}\uparrow}(E_{\mathrm{F}}) - \Sigma^{\mathrm{FM}}_{\mathbf{k}\downarrow}(E_{\mathrm{F}})\right]_{k=k_{\mathrm{F}}} \tag{11}$$

находим

$$\delta I_{\mathrm{ef}} = I^2 \sum_{C<t_{\mathbf{k}+\mathbf{q}}<C+\delta C} \left(\frac{1}{t_{\mathbf{k}+\mathbf{q}} + \omega_{\mathbf{q}}} + \frac{1}{t_{\mathbf{k}+\mathbf{q}} - \omega_{\mathbf{q}}}\right) = \frac{\rho I^2}{\overline{\omega}} \delta C \ln \left|\frac{C - \overline{\omega}}{C + \overline{\omega}}\right|, \tag{12}$$

где $\overline{\omega} = 4\mathcal{D}k_{\mathrm{F}}^2$, $\mathcal{D}$ — спин-волновая жесткость. Вводя безразмерные константы связи $g = -NI\rho, g_{\mathrm{ef}}(C) = -NI_{\mathrm{ef}}(C)\rho$ и заменяя в поправках теории возмущений $g \to g_{\mathrm{ef}}(C)$, получаем систему уравнений ренормгруппы в однопетлевом приближении:

$$\partial g_{\mathrm{ef}}(C)/\partial C = -\Lambda, \qquad \partial \ln \overline{\omega}_{\mathrm{ef}}(C)/\partial C = aM\Lambda/N, \qquad \partial \ln \bar{S}_{\mathrm{ef}}(C)/\partial C = M\Lambda/N, \tag{13}$$

где

$$\Lambda = \Lambda(C, \overline{\omega}_{\mathrm{ef}}(C)) = [g^2_{\mathrm{ef}}(C)/C]\eta(\overline{\omega}_{\mathrm{ef}}(C)/C). \tag{14}$$

Скейлинговая функция для пара-, ферро- и антиферромагнитных фаз равна:

$$\eta(x) = \begin{cases} x^{-1}\arctan x, & \mathrm{PM}, \\ \frac{1}{2x}\ln\left|\frac{1+x}{1-x}\right|, & \mathrm{FM}, \\ -x^{-2}\ln|1-x^2|, & \mathrm{AFM}. \end{cases} \tag{15}$$

Как показывают результаты исследования уравнений (13)—(15) [88, 5], в зависимости от соотношения между однопримесной температурой Кондо и затравочной частотой спиновых флуктуаций возможны три режима:

1. Режим сильной связи, где g_{ef} расходится при некотором C. Он грубо определен условием $\overline{\omega} < T_{\mathrm{K}} = D\exp(-1/g)$. Здесь $I_{\mathrm{ef}}(C \to 0) = -\infty$, так что все электроны проводимости связаны в синглетные состояния и спиновая динамика подавлена.

2. Режим «кондовского» магнетика с заметной, но неполной компенсацией магнитных моментов, который реализуется в интервале $T_{\mathrm{K}} < \overline{\omega} < AT_{\mathrm{K}}$ (A — числовой множитель порядка единицы), соответствующем малому интервалу $\delta g \sim g^2$. В этом интервале перенормированные значения магнитного момента и частоты спиновых флуктуаций $\bar{S}_{\mathrm{ef}}(0)$ и $\overline{\omega}_{\mathrm{ef}}(0)$ увеличиваются от нуля почти до затравочных значений.

3. Режим «обычных» магнетиков с малыми логарифмическими поправками к моменту основного состояния (см. (7)), возникающий при $\overline{\omega} > AT_{\mathrm{K}}$. В этом случае нет существенной зависимости от знака I.

В случае 2 имеет место высокая чувствительность магнитного состояния к внешним факторам, так что магнитный момент сильно меняется при малых вариациях затравочного параметра взаимодействия.

Переход в магнитное состояние по затравочной константе связи g описывается как квантовый фазовый переход со своими критическими индексами [5]. В его узкой окрестности возникает НФЖ поведение, где $g_{\rm ef}$ возрастает линейно с увеличением $\xi = \ln|D/C|$ (см. обсуждение в следующем разделе). Критическое значение g_c существенно зависит от типа магнитного упорядочения и структуры магнонного спектра (например, наличия в нем щели), размерности пространства и др. Таким образом, критерий Дониаха $g_c \simeq 0.4$ [79], полученный для простой одномерной модели, вряд ли может быть применимым к реальным системам. В рамках первопринципных расчетов эти проблемы обсуждаются в работе [90].

Разумеется, при рассмотрении квантового магнитного фазового перехода требуется более точный учет магнитных флуктуаций, включая импульсные зависимости. Недавно для анализа фазовой диаграммы двумерной антиферромагнитной решетки Кондо было использовано ϵ-разложение в методе ренормгруппы с использованием нелинейной сигма-модели [91]. Важную роль также может играть изменение топологии поверхности Ферми [92].

4 Магнетизм и нефермижидкостное поведение. Многоканальная модель Кондо

Для объяснения нефермижидкостного поведения f-систем был выдвинут ряд идей. Поскольку многие НФЖ соединения являются неупорядоченными сплавами, были предложены механизмы, связанные с разупорядочением в решетках Кондо [93], а также использована модель сингулярностей Гриффитса–Мак-Коя [94]. Как упомянуто во Введении, НФЖ поведение чаще всего наблюдается на границе магнитной неустойчивости – при квантовых фазовых переходах (QPT), в непосредственной близости которых (регулируемой составом либо внешним давлением) магнитный порядок подавлен вплоть до нулевой температуры. В этой связи предлагались механизмы, связанные со спиновыми флуктуациями [95], и подходы, рассматривающие поведение вблизи QPT, – в «чистом» пределе [96] или с учетом разупорядочения [97].

Как показывают расчеты по теории возмущений в $s-f$ модели антиферромагнетика [98], в двумерном случае ($d=2$) или в ситуации фрустрированного магнонного спектра для $d=3$ межзонные вклады в электронную теплоемкость дают зависимость $T\ln(T/T^*)$ вместо линейной, а вместо квадратичной зависимости сопротивления имеем при $d=2$ либо при $d=3$ в ситуации «нестинга» для электронного спектра имеем $R(T) \sim T\ln(T/T^*)$. Разумеется, эти зависимости справедливы в ограниченном температурном интервале $T > T^*$, где величина $T^* \sim T_N\bar{\Delta}/E_F$ определяется величиной спинового расщепления $\bar{\Delta} = 2|I|S$ (в случае ферромагнетика T^* порядка $T_C I^2$ из-за квадратичного спектра спиновых волн). Аналогичные зависимости возникают в слабых коллективизированных моделях на границе магнитного фазового

перехода [99, 100, 95]. С другой стороны, как мы видели, в некоторых веществах НФЖ поведение сохраняется существенно выше температуры упорядочения или в магнитоупорядоченной фазе – достаточно далеко от критической точки QPT.

НФЖ поведение может быть описано в многоканальной модели Кондо [101, 102, 103, 80], где оно возникает в режиме переэкранирования магнитных моментов. Здесь состояние полной компенсации неустойчиво: с локализованным спином (даже при $S = 1/2$) связывается целый комплекс электронов проводимости, и получающийся композитный объект продолжает взаимодействовать с морем электронов. В результате возникает инфракрасная фиксированная точка.

В данной ситуации необходимо обобщить ренормгрупповое рассмотрение предыдущего раздела, рассматривая скейлинг высшего порядка. В однопримесном случае скейлинговое поведение определяется бета-функцией $\beta(g) = \partial g_{\rm ef}(C)/\partial \ln|C|$, разложение которой дает [103]

$$\beta(g) = -g^2 + (M/N)g^3 + ... \tag{16}$$

При $M > N$ (для простоты обсуждается случай $S = 1/2$) фиксированная точка $g^* = N/M$ (нуль $\beta(g)$) лежит в области слабой связи, так что оправдано использование теории возмущений и ренормгруппы. Напротив, в случае компенсации ($M = 1$), обсуждавшемся в разделе 3, такое рассмотрение неприменимо – фиксированная точка с большим g^* является нефизической.

Решение скейлингового уравнения дает

$$\frac{g^* - g_{ef}(C)}{g^* - g} = g^* \left|\frac{C}{T_K}\right|^{\Delta} \exp\left(-\frac{g^*}{g_{ef}(C)}\right) \tag{17}$$

где $\Delta = N/M$ и температура Кондо равна

$$T_K = D g^{M/N} \exp(-1/g). \tag{18}$$

В таком подходе расходимость $g_{ef}(\xi)$ отсутствует, а степенное критическое поведение (17) имеет место в широком интервале, включая область $|C| > T_K$ [103]. Критические показатели определяются наклоном $\Delta = \beta'(g)$. Вычисление с учетом высших порядков по $1/M$ приводит к результату

$$\Delta = \frac{N}{M}\left(1 - \frac{N}{M}\right) \simeq \frac{N}{M+N}, \tag{19}$$

что согласуется с точными результатами из анзатца Бете и конформной теории поля (см. [80]). Для соответствующего значения g^* при $N = 2$ разложение дает $g^* = \frac{2}{M}\left(1 - \frac{2\ln 2}{M}\right)$ [103], что слегка отличается от Δ.

Важный случай $M = N = 2$ более сложен с теоретической точки зрения и не может быть рассмотрен простыми аналитическими методами. Здесь восприимчивость и коэффициент теплоемкости при понижении температуры расходятся логарифмически, как дают те же анзатц Бете и конформная теория поля (см. обзор [80]).

Перейдем теперь к случаю решетки [85]. Аналогично рассмотрению в разделе 3 находим

$$\partial g_{ef}(C)/\partial C = -[1 - (N/M)g_{ef}(C)]\Lambda \tag{20}$$

При этом перенормировка частоты $\overline{\omega}$ в ведущем порядке по M описывается тем же уравнением, что и в (13). Тогда имеем ($\gamma = M/N$)

$$\frac{\overline{S}_{ef}(C)}{S} = \left(\frac{\overline{\omega}_{ef}(C)}{\overline{\omega}}\right)^{1/a} = \frac{1-\gamma g_{ef}(C)}{1-\gamma g} = \frac{g^* - g_{ef}(C)}{g^* - g}, \tag{21}$$

где a введено в (10). Таким образом, мы имеем ситуацию мягкой бозонной моды при приближении к фиксированной точке $g^* = 1/\gamma$.

Вводя функцию

$$\psi(\xi) = \ln \frac{\overline{\omega}}{\overline{\omega}_{ef}(\xi)} = a \ln \frac{\overline{S}_{ef}(C)}{S} \tag{22}$$

можно записать скейлинговое уравнение в виде

$$\frac{\partial \psi}{\partial \xi} = \frac{a}{\gamma}\left[1 - (1-\gamma g)\exp(-\psi/a)\right]^2 \Psi(\lambda + \psi - \xi) \tag{23}$$

где

$$\Psi(\xi) = \eta(e^{-\xi}), \qquad \xi = \ln|D/C|, \qquad \lambda = \ln(D/\overline{\omega}) \gg 1$$

Приведенные уравнения записаны в терминах γ, а не M и N по отдельности. Поэтому, чтобы установить соответствие с однопримесным случаем (19), можно положить $\gamma = M/N + 1 = 1/\Delta$. Это дает, по крайней мере при $M > 2$, правильные критические показатели для магнитной восприимчивости, теплоемкости и сопротивления.

В парамагнитной фазе при больших $\xi = \ln|D/C|$ можно положить для оценки $g_{ef}(\xi) \simeq g^* = 1/\gamma$. Тогда имеем степенное поведение

$$\begin{aligned} \overline{\omega}_{ef}(C) &\simeq \overline{\omega}(|C|/T_K)^{\beta}, \quad \beta = a/\gamma = a\Delta \\ \overline{S}_{ef}(C) &\simeq (|C|/T_K)^{\Delta}, \end{aligned} \tag{24}$$

Оно имеет место в ограниченном интервале значений ξ, определяемом спиновой динамикой, — вплоть до $\xi = \xi_1 \simeq (\lambda - \beta/g)/(1-\beta)$. При $\xi \to \infty$ величина $\psi(\xi)$ остается конечной, а $g_{ef}(\xi)$ стремится к значению, несколько меньшему, чем однопримесное g^* (рис. 2).

В случае магнитного упорядочения поведение для $\xi < \xi_1$ аналогично, но для $\xi > \xi_1$ важную роль играют сингулярности Ван-Хова в скейлинговой функции: вместо убывания $\Psi(\lambda + \psi - \xi)$ может начать возрастать при приближении к ξ_1, аргумент функции Ψ in (23) становится практически постоянным (фиксированным), и мы имеем (Рис. 3)

$$\psi(\xi) \simeq \xi - \lambda, \; \overline{\omega}_{ef}(C) \simeq |C|. \tag{25}$$

В отличие от парамагнитного случая, здесь имеет место резкий кроссовер с изменением g: режим (25) не достигается при $g < g_c$. Значение g_c определяется величиной магнонного затухания δ,, на котором обрезаются сингулярности функции (15). Поведение (25) имеет критическую природу: в случае одноканальной модели Кондо оно возникает только при критическом $g = g_c$, соответствующем квантовому магнитному фазовому переходу.

Вообще, однопетлевой скейлинг, рассмотренный в предыдущем разделе, дает для конечных M НФЖ поведение лишь в очень узком интервале затравочной константы

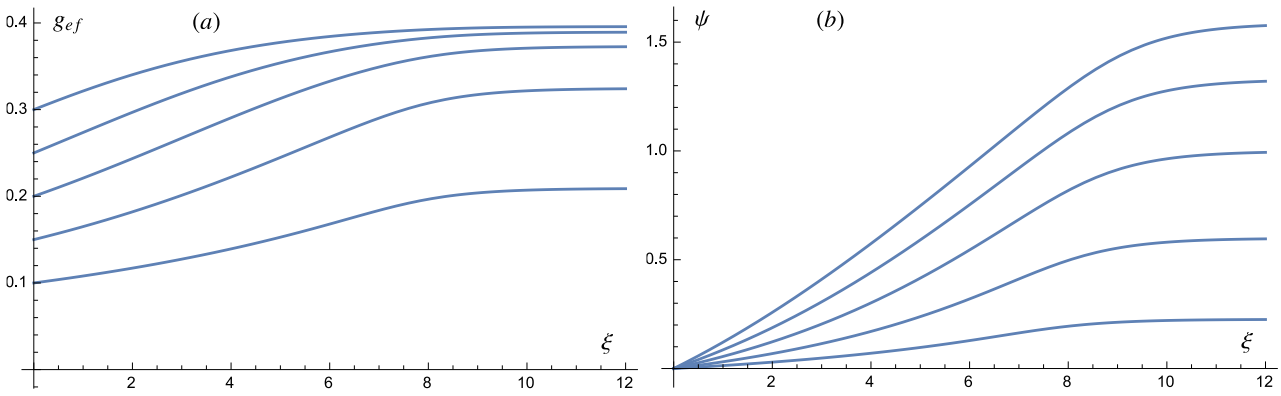


Рис. 2: Скейлинговые траектории для случая парамагнетика $g_{ef}(\xi)$ (a) и $\psi(\xi)$ (b) [85]. Значения параметров: $\gamma = 5/2$, $\lambda = 7$, $a = 1/2$, $g = 0.1, 0.15, 0.2, 0.25, 0.3$ (снизу вверх)

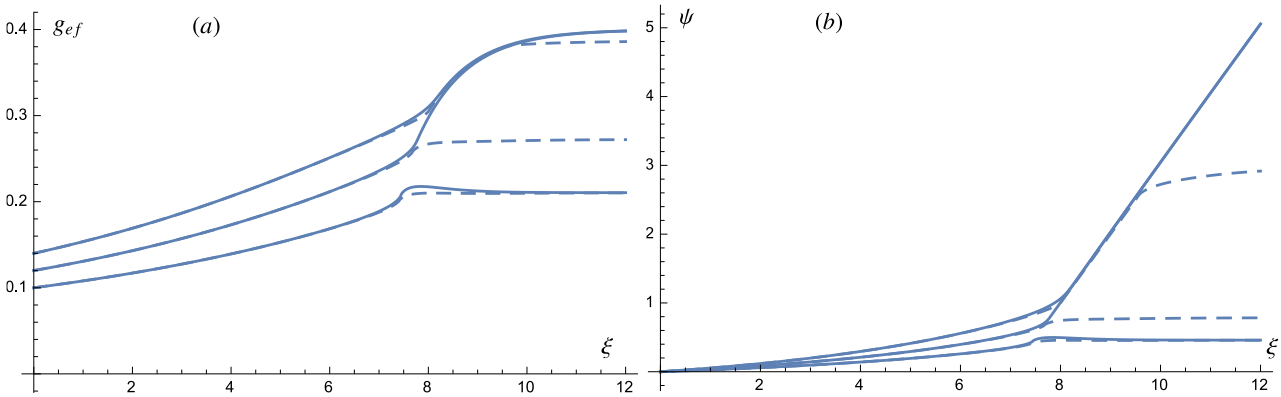


Рис. 3: Скейлинговые траектории для случая трехмерного антиферромагнетика $g_{ef}(\xi)$ (a) и $\psi(\xi)$ (b) [85] для $\gamma = 5/2$, $\lambda = 7$, параметра затухания $\delta = 2\ 10^{-4}$, $a = 1$, $g = 0.1, 0.12, 0.14$ (снизу вверх). Пунктир соответствует учету некогерентного вклада в спиновую спектральную плотность

связи g, поскольку с ростом g мы быстро переходим в режим сильной связи, где $g_{ef}(\xi > \lambda) \to \infty$. Однако существуют механизмы, приводящие к расширению области НФЖ поведения и в случае $M = 1$ (когда описанный механизм в данном разделе возникновения фиксированной точки не реализуется). В частности, это происходит при учете затухания спиновых возбуждений [104].

Как показано в [104], в случае особого вида спектральной функции спиновых возбуждений, который может реализоваться в многоподрешеточных магнетиках, аргумент функции Ψ также может фиксироваться на скейлинговой траектории. Это приводит к линейному возрастанию $g_{ef}(\xi)$, так что НФЖ поведение возникает в широком интервале затравочной константы связи $g_{c1} < g < g_{c2}$,

При наличии ван-хововских особенности электронного спектра область НФЖ поведения также расширяется [105]. Такие особенности могут существенно повлиять на структуру теории возмущений. При этом скейлинговое поведение будет определяться не только близостью уровня Ферми ($C \to 0$), но и расстоянием до особенности; в определенных ситуациях возможно ослабление зависимости константы связи от ее затравочного значения. Интересной возможностью является пиннинг (залипание) уровня Ферми у особенности ван-Хова [106].

Существует также возможность, что фиксированная точка, аналогичная случаю многоканальной модели Кондо, появится в случае одноканальной модели с особенностью плотности состояний или нестинга [107] (отметим, что гигантские особенности ван-Хова формируются при пересечении более слабых особенностей [108], т.е. связаны с вырождением зон).

Теперь обсудим поведение физических свойств для случая $N = 2$. Температурные зависимости магнитного момента и восприимчивости в парамагнитном случае получаются непосредственно из приведенных выше результатов с помощью замены $|C| \to T$,

$$S_{ef}(T) \propto (T/T_K)^{\Delta},\ \chi(T) \propto S_{ef}^2(T)/T \propto (T/T_K)^{2\Delta}/T. \tag{26}$$

Аналогичная зависимость получается для электронной теплоемкости [103]. В отличие от однопримесного случая, эти зависимости справедливы в ограниченном темературном интревале.

Температурная поправка к магнитному сопротивлению имеет вид [103]

$$\delta R_m(T) \propto g_{ef}(T) - g^* \propto -(T/T_K)^{\Delta}. \tag{27}$$

Зависимость $T^{1/2}$ (которая соответствует $M = 2$) действительно наблюдается в ряде f-систем [80]. С другой стороны, как обсуждалось выше, рассматриваемое приближение не учитывает логарифмических расходимостей, возникающих в восприимчивости и теплоемкости при $M = 2$ ($\Delta = 1/2$).

В спин-волновой области имеем для антиферромагнетика $\chi \propto \overline{S}/\overline{\omega}$. Заменяя $\overline{\omega} \to \overline{\omega}_{ef}(C)$, $\overline{S} \to \overline{S}_{ef}(C)$ с $|C| \sim T$ в духе скейлингового рассмотрения, находим

$$\chi(T) \propto T^{-\zeta},\ \zeta = \begin{cases} \Delta(a-1)/a \\ (a-1)/a \end{cases} \tag{28}$$

в режимах (24) и (25) соответственно. Неуниверсальный показатель ζ определяется деталями магнитной структуры и может быть как положительным, так и отрицательным.

Для электронной теплоемкости в антиферромагнитном случае имеем

$$C_{el}(T)/T \propto g_{ef}^2(T)\overline{S}_{ef}(T)/\overline{\omega}_{ef}(T) \propto \chi(T). \tag{29}$$

что находится в согласии с экспериментальными данными по НФЖ системам [101, 80].

Таким образом, многоканальная модель решетки Кондо естественно описывает формирование магнитного состояния с малым значением момента. Кроме того, она дает пример существенной перенормировкой константы связи в соответствии с (21). Это может представлять интерес для общей теории металлического магнетизма (в частности, для слабого зонного ферро- и антиферромагнетиках): магнитное состояние определяется процессом перенормировки, а не критерием Стонера с затравочными параметрами.

Важной проблемой является устойчивость фиксированной точки: снятие вырождения электронных подзон с различным m в гамильтониане (1) должно приводить к изменению скейлингового поведения, так что аномальные температурные зависимости будут сохраняться лишь в ограниченном интервале. Применения двухканальной модели к редкоземельным и актинидным системам, в том числе соответствующие трудности интерпретации, обсуждаются в обзоре [80]. В случае урановых систем реализация этой модели возможна благодаря симметрии подзон относительно инверсии времени.

5 Проблема основного состояния. Приближение среднего поля в представлении псевдофермионов

Методы теории возмущений и скейлинга, рассмотренные выше, не позволяют описать основное состояние решеток Кондо в режиме сильной связи (в этой связи следует отметить работу [109], где такое описание было получено в однопримесной модели диаграммным методом). Поэтому проблема сильно коррелированного основного состояния плотных кондовских систем весьма сложна.

Принципиальным является тот факт, что f--электроны в системах с тяжелыми фермионами ведут себя необычно – проявляют делокализацию, которая подтверждена наблюдением больших электронных масс в экспериментах по эффекту де Гааза—ван Альфена. Такое поведение весьма нетривиально в $s-f$ обменной модели (в отличие от модели Андерсона с f-состояниями вблизи уровня Ферми, где имеется затравочная s—f гибридизация и возникает состояние промежуточной валентности). Эта делокализация аналогична появлению фермиевской ветви возбуждения в теории резонирующих валентных связей для высокотемпературных сверхпроводников, так что поверхность Ферми может быть спинонной, причем не только в двумерном, но и в трехмерном случае [110]. В результате коллективизации f-состояний нарушается теорема Латтинджера о постоянстве объема под поверхностью Ферми и возникает так называемая большая поверхность Ферми (это изменение статистики в чем-то аналогично формированию и разрушению хаббардовских подзон [111]).

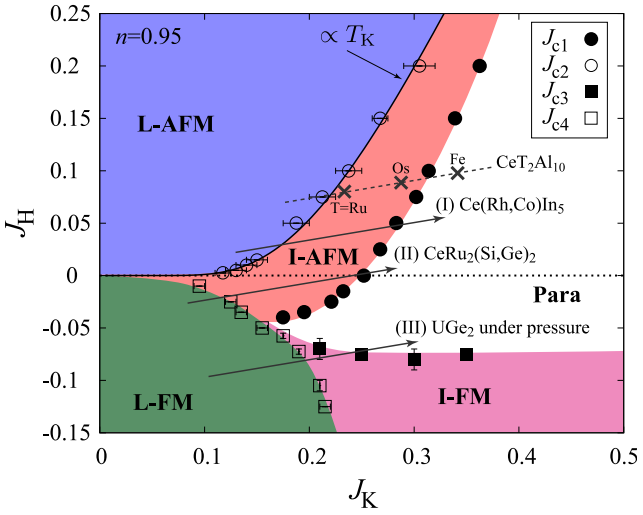


Рис. 4: Фазовая диаграмма решетки Кондо–Гейзенберга в плоскости J_H–J_K(где $J_K = -2I$) при $T = 0.001$ [112]. Сокращения L и I означают локализованный и коллективизированный (itinerant); величины по осям в единицах ширины зоны

В основном состоянии при изменении параметра взаимодействия происходит квантовый фазовый переход в металл с обычной малой поверхностью Ферми. Такой скачок поверхности Ферми действительно наблюдается в $YbRh_2Si_2$ и $CeRhIn_5$ [92]. При этом остается вопрос, как формируется магнетизм: возникает ли магнитное упорядочение при разрушении кондовского состояния, или магнитный переход происходит в границах кондовской фазы путем формирования волны спиновой плотности (SDW). В последнем случае формирование малых моментов происходит естественно, по крайней мере в ситуации антиферромагнетизма. В то же время магнитное упорядочение, меняя зону Бриллюэна, само может оказывать существенное влияние на зонную структуру и поверхность Ферми.

Переход от малой поверхности Ферми к большой может рассматриваться как переход от локализованного к коллективизированному магнетизму. Соответствующее обсуждение на основе расчетов методом Монте-Карло в комбинации с методом динамической теории среднего поля (DMFT) проведено в работе [112] в применении к фазовым переходам в системах $CeRh_{1-x}Co_xIn_5$, $CeRu_2$ $(Si_xGe_{1-x})_2$, UGe_2, CeT_2Al_{10} (T = Fe, Ru, Os), причем было рассмотрено как ферро-, так и антиферромагнитное гейзенберговское взаимодействие (рис. 4).

Конкуренция магнитных взаимодействий (фрустрации) может приводить к многообразию фазовых переходов, в том числе между магнитными и парамагнитными состояниями с большой и малой поверхностью Ферми (см. обсуждение в [92, 113, 114]). Например, в $Ce_3Pd_{20}Si_6$ и $YbRh_2Si_2$ кондовское экранирование, повидимому, исчезает при магнитном переходе, а при легировании последнего соединения кобальтом или иридием возникают два отдельных фазовых перехода [115]. Согласно нейтронным данным для $CeCu_2Si_2$, магнитное упорядочении связано с нестингом большой поверхности Ферми тяжелых квазичастиц [116]. Экзотическое магнитное состояние в CePdAl, обусловленное фрустрациями, обсуждается в

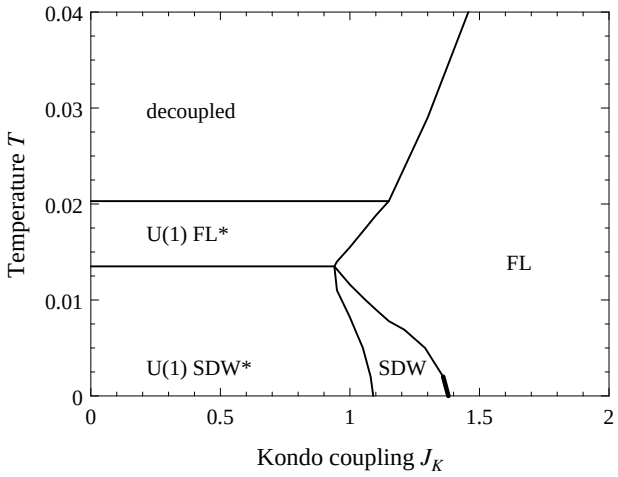


Рис. 5: Магнитная фазовая диаграмма в приближении среднего поля из работы [110]; decoupled — фаза, в которой s- и f-электроны не связаны, $J_K = -2I$, величины по осям в единицах интеграла переноса

[117]. Роль фрустраций в физике кондовских решеток ранее обсуждалась в работах [118, 119].

В работе [110] был предложен новый тип ферми-жидкостного состояния FL*. В нем локализованные моменты не принимают участие в формировании поверхности Ферми, но адиабатически связаны со спиновой жидкостью, описываемой калибровочной теорией и обладающей соответствующими экзотическими возбуждениями в фазе деконфайнмента. В пространственных размерностях $d \geq 2$ стабильна спиновая жидкость типа Z_2, однако более интересна спиновая жидкость U(1), существующая при $d \geq 3$. В этой фазе коэффициент электронной теплоемкости C/T расходится логарифмически. На фоне такого состояния возникает металлическое магнитное состояние SDW*, которое может характеризоваться малым моментом. При этом магнитная неустойчивость развивается как волна спиновой плотности для спинонной поверхности Ферми. С увеличением константы связи происходит переход в обычную (но тяжелую) ферми-жидкость FL (фазовая диаграмма показана на рис. 5).

В [110] было искусственно введено поле, стабилизирующее ненасыщенное состояние с малым моментом. В работе [114] за счет некоторой модификации модели и физической картины такого введения удалось избежать и было получено состояние, в котором эффект Кондо сосуществует с антиферромагнетизмом, хотя и при нереалистически большом параметре $s - f$ обмена.

Перейдем теперь к математическому формализму. В основном состоянии аномальных f-систем кондовскую компенсацию (образование синглета) следует рассматривать в нулевом приближении. Для описания основного состояния кондо-решетки в режиме сильной связи было разработано специальное приближение среднего поля, в рамках которого Коулмен и Андрей [120] рассмотрели формирование состояния спиновой жидкости в двумерной ситуации. Затем это приближение было применено к случаю ферро- и антиферромагнитного упорядочения [121, 86, 122, 110]. Оно использует псевдофермионное представление для операторов локализованных спинов

$S = 1/2$:

$$\mathbf{S}_i = \frac{1}{2} \sum_{\sigma\sigma'} f^\dagger_{i\sigma} \boldsymbol{\sigma}_{\sigma\sigma'} f_{i\sigma'} \tag{30}$$

с вспомогательным условием

$$f^\dagger_{i\uparrow} f_{i\uparrow} + f^\dagger_{i\downarrow} f_{i\downarrow} = 1. \tag{31}$$

Ранее близкая идея о введении псевдофермионов была предложена в работе [123]. Варианты, связанные с использованием вспомогательных бозонов [124], оказываются существенно менее удачными, поскольку оправданы только в пределе большой кратности вырождения N (при конечных N и особенно при $N = 2$ они дают экспоненту в выражении для температуры Кондо, отличную от однопримесного значения). Аналогичная проблема возникает в методе типа Гутцвиллера [125].

Применяя приближение перевальной точки для интеграла по траекториям, описывающего спин-фермионную взаимодействующую систему [120], можно свести гамильтониан s—f обменного взаимодействия к эффективной гибридизационной модели:

$$- I \sum_{\sigma\sigma'} c^\dagger_{i\sigma} c_{i\sigma'} \left(\boldsymbol{\sigma}_{\sigma\sigma'} \mathbf{S}_i - \frac{1}{2} \delta_{\sigma\sigma'} \right) \to f^\dagger_i V_i c_i + c^\dagger_i V^\dagger_i f_i - \frac{1}{2I} \operatorname{Sp}(V_i V^\dagger_i), \tag{32}$$

где введены векторные обозначения $f^\dagger_i = (f^\dagger_{i\uparrow},\ f^\dagger_{i\downarrow})$, $c^\dagger_i = (c^\dagger_{i\uparrow}, c^\dagger_{i\downarrow})$, а V — эффективная матрица гибридизации, определяемая из условия минимума свободной энергии.

Таким образом, f–псевдофермионы в данной ситуации сами становятся коллективизированными. В приближении среднего поля такая картина сталкивается с некоторыми идейными трудностями. В частности, возникает проблема исключения нефизических состояний в гильбертовом пространстве: условие (31) учитывается только в среднем введением химического потенциала псевдофермионов (в рассматриваемом подходе числа псевдофермионов и электронов проводимости сохраняются по отдельности, так что $n_f = 1$). Истинная волновая функция должна получаться из среднеполевой после применения дополнительного проекционного оператора Гутцвиллера, исключающего пустые и дважды занятые f-состояния на узле [120]. Аналогичные проблемы картины спиновой жидкости подробно обсуждаются в книге [126] и обзоре [127], где рассмотрены флуктуационные эффекты, которые приводят к взаимодействию с бозонными калибровочными полями. Следует отметить, что эффект Кондо в $s - f$ обменной модели может приводить к стабилизации экзотических состояний типа спиновой жидкости по сравнению с ситуацией в простой модели Гейзенберга [120].

В ферромагнитном состоянии имеем

$$\begin{aligned} H - \mu\hat{n} \;\; = \;\; & \sum_{\mathbf{k}\sigma} [(t_{\mathbf{k}} - \mu) c^\dagger_{\mathbf{k}\sigma} c_{\mathbf{k}\sigma} + W_\sigma f^\dagger_{\mathbf{k}\sigma} f_{\mathbf{k}\sigma} \\ & + V_\sigma (c^\dagger_{\mathbf{k}\sigma} f_{\mathbf{k}\sigma} + f^\dagger_{\mathbf{k}\sigma} c_{\mathbf{k}\sigma})] - \sum_\sigma V^2_\sigma / I \end{aligned} \tag{33}$$

где $J_0 = J(\mathbf{q} = \mathbf{0})$, V_σ – эффективная гибридизация,

$$W_\sigma = W - \sigma J_0 \bar{S},$$

W – положение f-уровня, отсчитываемое от химпотенциала электронов μ; величина $-W$, которая имеет порядок температуры Кондо $T_{\rm K}$, – химпотенциал псевдофермионов.

Соответствующая плотность состояний имеет гибридизационный вид и включает острые пики псевдофермионных состояний:

$$N_\sigma(E) = \left(1 + \frac{V_\sigma^2}{(E - W_\sigma)^2}\right) \rho\left(E - \frac{V_\sigma^2}{E - W_\sigma}\right) \tag{34}$$

При этом емкость зоны в два раза больше, чем у затравочной зоны. Кроме того, функция $N(E)$ воспроизводит и даже усиливает особенности затравочной плотности состояний.

Сначала обсудим полуметаллическое ферромагнитное (ПМФ) решение, для которого химический потенциал лежит в энергетической щели для $\sigma =\uparrow$ (рис. 6), так что

$$W_\downarrow > V_\downarrow^2/(D - \mu),\ -V_\uparrow^2/\mu < W_\uparrow < V_\uparrow^2/(D - \mu), \tag{35}$$

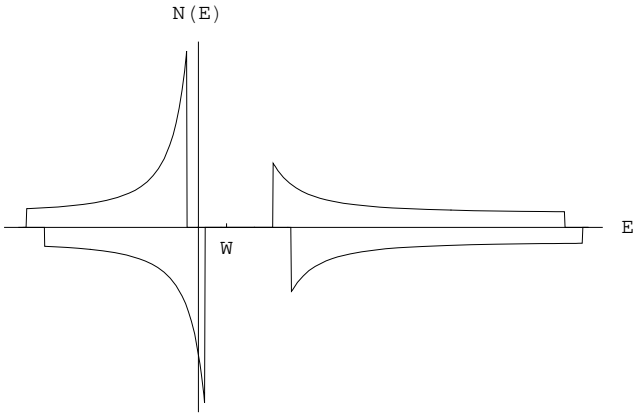


Рис. 6: Парциальные плотности состояний для спина вверх (верхняя половина) и спина вниз (нижняя половина) в случае прямоугольной зоны [122]. Ось ординат проведена через химический потенциал для полуметаллического ферромагнитного состояния. Отметим, что поляризации электронов проводимости и псевдофермионов противоположны

Поскольку емкость гибридизационной подзоны равна единице, имеем (n – концентрация электронов проводимости)

$$n_\uparrow^f \simeq 1 - n/2,\ n_\downarrow^f \simeq n/2,\ \bar{S} \simeq (1 - n)/2$$

в то время как намагниченность электронов проводимости мала, $n_\uparrow \simeq n_\downarrow \simeq n/2$. В этом состоянии каждый электронов проводимости компенсирует один локализованный спин из-за отрицательного знака $s - f$ обменного параметра I, а магнитное упорядочение обусловлено обменным взаимодействием некомпенсированных моментов. Такая картина напоминает ситуации в узкозонном ферромагнетике в моделях Хаббарда или $s - d$ обмена с сильным внутриатомным взаимодействием (двойной

обмен). В нашем случае, однако, затравочное взаимодействие мало, но эффективное взаимодействие велико в режиме сильной связи.

Для прямоугольной полосы ($\rho(E) = 1/D,\ 0 < E < D$) условие существования ПМФ решения имеет вид (W_0 соответствует парамагнитному состоянию)

$$j = J_0/W_0 < \frac{2}{n(1-n)} \tag{36}$$

Таким образом, оно имеется при произвольно малом J_0, как и в гейзенберговском магнетике. В приближении среднего поля полная энергия магнитного состояния всегда ниже, чем у немагнитного состояния Кондо, и падает с ростом момента:

$$\mathcal{E} - \mathcal{E}_{\text{non-mag}} = -J_0 \overline{S}^2 \tag{37}$$

Энергияю ферромагнитного состояния Кондо следует также сравнивать с энергией обычного (гейзенберговского) ферромагнитного состояния, в котором эффект Кондо подавлен ($W = 0,\ \bar{S} = 1/2$). Последнее становится энергетически выгодным при достаточно больших значениях

$$j > j_c = 1/(1/4 - \overline{S}^2). \tag{38}$$

В критической точке должен происходить магнитный фазовый переход первого рода. Последнее также подтверждается общим феноменологическим рассмотрением в работе [128].

Отметим, что картина полуметаллического магнетизма тесно связана с гибридизационным характером спектра, как и в интерметаллических d-системах [129].

Таким образом, ПМФ состояние достаточно устойчиво. В работе [130] оно было переоткрыто в модели Кондо в рамках метода DMFT и названо “spin-selective Kondo insulator”. В работах [131, 132] оно было получено в рамках приближения Хартри-Фока, где наряду с кондовскими аномальными средними учитывались расцепления, описывающие магнитное РККИ-взаимодействие (поляризацию электронов проводимости). Следует отметить, что в последнем подходе кондовское состояние получается только при больших $|I|$ порядка полуширины зоны, так что уже не возникает малого энергетического масштаба T_K. Вероятно, для построения количественной теории нужен учет перенормировки затравочных параметров, как обсуждается в разделе 3.

Теперь обсудим ненасыщенное ферромагнитное решение с намагниченностью $\bar{S} < (1-n)/2$, где $W_\sigma > V_\sigma^2/(D-\mu)$ для обеих σ и уровень Ферми лежит в нижней гибридизационной подзоны (ниже энергетической щели), как и в немагнитном случае.

Учитывая перенормировки гибридизации в нашей модели, можно получить самосогласованное уравнение для намагниченности

$$\begin{aligned} \frac{J_0 \bar{S}}{W} &= L(\bar{S}, n), \\ L(\bar{S}, n) &= \tanh\left(\frac{1}{2\rho_n} \int\limits_{\mu(n+1-2\bar{S})}^{\mu(n+1+2\bar{S})} dE\ \frac{\rho(E) - \rho}{E - \mu} \right), \end{aligned} \tag{39}$$

и выражение для переномированной температуры Кондо (энергии f-уровня)

$$\begin{aligned} W &= W_0 P(\bar{S}, n), \\ P(\bar{S}, n) &= \frac{1}{2}\sum_{\sigma} \exp\left(\frac{1}{\rho}\int\limits_{\mu(n+1)}^{\mu(n+1+2\sigma\bar{S})} \frac{\rho(E)-\rho}{E-\mu}\, dE\right) \end{aligned} \tag{40}$$

Эти уравнения можно переписать как

$$j\bar{S} = P(\bar{S}, n)L(\bar{S}, n),\ j = J_0/W_0. \tag{41}$$

Решения с $\bar{S} \neq 0$ могут существовать, если левая и правая часть (39) порядка единицы, т. е. $J_0 \sim W_0$. Однако реальные условия для этого оказываются достаточно жесткими (ситуация похожа на приближение Хаббард-I, где имеется сильная зависимость критерия магнетизма от затравочной плотности состояний [111]). В частности, уравнение (39) не имеет нетривиальных решений для $\rho(E) = \text{const}$: намагниченность возникает только за счет энергетической зависимость ρ.

Необходимое условие для существования решения с малыми $\bar{S}$ имеет вид

$$k_n = \left.\frac{dL(\bar{S}, n)}{d\bar{S}}\right|_{\bar{S}=0} = \frac{1}{\rho_{n+1}\rho_n}\frac{\rho_{n+1}-\rho_n}{\mu_{n+1}-\mu_n} > 0 \tag{42}$$

где $\rho_n = \rho(\mu_n)$. Таким образом, по сравнению с критерием полуметаллического ферромагнетизма, который определяется глобальным поведением $\rho(E)$, критерий ферромагнетизма с малыми $\bar{S}$ определяется $\rho(E \simeq \mu_{n+1})$ (что соответствует «большой» поверхности Ферми). Ситуация для возникновения решений с малыми $\bar{S}$ более благоприятна при больших n и в присутствии высоких узких пиков $\rho(E)$.

Для простых решеток с симметричной затравочной плотностью состояний ненасыщенное решение может существовать только в области $n < 1/2$ (когда $\rho_{n+1} < \rho_n$). В частности, для полуэллиптической зоны при $J_0 \to 0$ ферромагнетизм исчезает для $n > 0.5$, а насыщенное ферромагнитное решение возникает для $n < 0.42$ (рис. 7).

Условие для ферромагнетизма с $\bar{S} \to 0$ имеет вид $k = j$, так что ферромагнитное решение начинается с $j = k$, а с уменьшением j момент растет. Такое необычное поведение связано со своеобразным характером ненасыщенного решения. В этом состоянии имеются две конкурирующие тенденции. Рост обменного расщепления $2J_0\bar{S}$ с j толкает химический потенциал в энергетической щели, но острый псевдофермионный пик не позволяет пересечь себя и остается выше уровня Ферми. Таким образом, $\bar{S}$ должно уменьшаться с ростом j. Отметим, что в случае РККИ обмена (когда $J \sim I^2\rho$, а T_K экспоненциально мала) рост j соответствует уменьшению $|I|$, и поэтому картина не столь парадоксальна, как кажется на первый взгляд.

Как показывают численные расчеты [122], для простой квадратной и кубической решеток ненасыщенное решение существует лишь внутри области существования насыщенного и проигрывает ему по энергии. Для возникновения магнетизма с малым моментом благоприятна ситуация, когда имеется узкий пик плотности состояний на μ_{n+1} или чуть выше, так что упорядочение отодвигает его с уровня Ферми, который оказывается в слабом локальном минимуме для состояний со спином вверх (рис. 8).

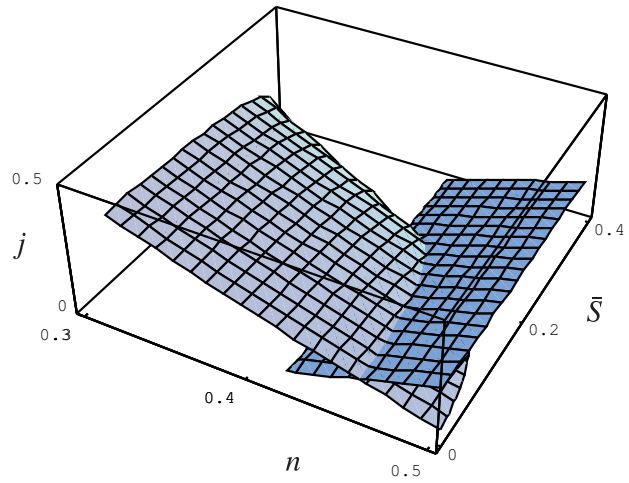


Рис. 7: Диаграмма поверхности существования ненасыщенного ферромагнитного решения для затравочной полуэллиптической зоны согласно (41) (левый лист) [122]. Насыщенное (полуметаллическое) решение существует выше правого листа

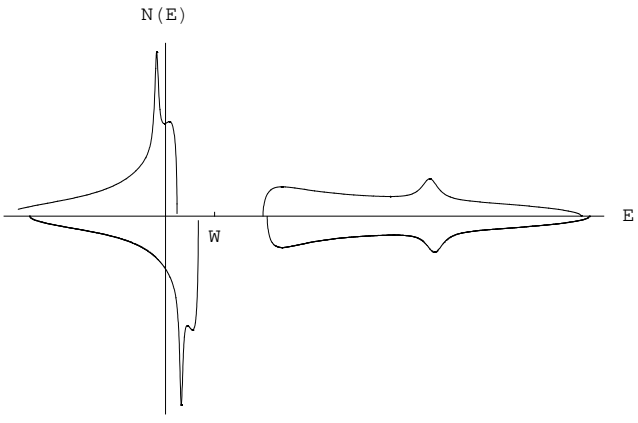


Рис. 8: Парциальные плотности состояний для полуэллиптической зоны с лоренцевским пиком

Область ненасыщенного решения для затравочной плотности состояний с лоренцевским пиком показана на рис. 9. Видно, что магнетизм с малым моментом возникает в довольно широкой области вблизи значений n, где $\mu_{n+1} = E_1$, причем состояние ПМФ в этой области концентраций не существует, по крайней мере, при малых j.

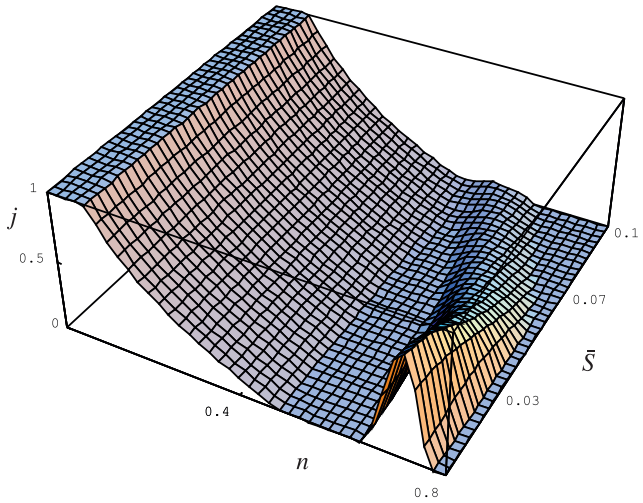


Рис. 9: Диаграмма поверхности существования ненасыщенного ферромагнитного решения для полуэллиптической зоны с лоренцевским пиком ($\rho(E) = \rho_0(E) + h\Gamma/[(E - E_1)^2 + \Gamma^2]$) при $\Gamma = 0.01D,\ E_1 = 0.8D,\ h = 0.01$ [122]

Таким образом, кондовский ферромагнетизм имеет ряд особенностей по сравнению с картиной Стонера для обычных систем коллективизированных электронов. В частности, зависимость критерия ферромагнетизма от затравочной плотности состояний гораздо сложнее. Причина состоит в том, что решающую роль для этого критерия играет зависимость эффективной гибридизации от спина.

Отметим, что рассмотренный подход дает универсальное описание в терминах отношения $j \sim J_0/T_K$ и функций, которые зависят только от затравочной плотности состояний, но не от $s - f$ обменного параметра I.

Гибридизационная форма электронного спектра (наличие пиков плотности состояний) в кондо-решетках подтверждается многочисленными экспериментальными исследованиями: прямыми оптическими данными [133], наблюдением больших электронных масс в измерениях эффекта де Гааза-ван Альфена и т.д. Иногда трудно четко различить режимы промежуточной валентности (ПВ) и Кондо в формировании магнетизм, так как f-состояния в обоих случаях играют важную роль в электронной структуре вблизи уровня Ферми. Наличие реальной гибридизации между s, d- и f -состояниям в ПВ системах может привести к пику в затравочной плотности состояний, который, в свою очередь, будет влиять на псевдофермионный ферромагнетизм. Возможный пример – ферромагнитная система $CeRh_3B_2$ с малым моментом и высокой температурой Кюри, которая связывалась с сильной $d-f$ гибридизацией. В то же время анализ нейтронных данных для нее не обнаружил намагниченности на узлах родия и бора, так что ферромагнетизм связан с упорядочением локальных моментов церия, а не является коллективизированным магнетизмом в зоне родия, как предполагалось ранее [134].

В случае антиферромагнитного упорядочения электронный спектр искажен как гибридизационной (кондовской), так и антиферромагнитной щелью. Здесь аналитическое исследование уравнений среднего поля затруднено, и они требуют численного решения. В отличие от ферромагнетика, для антиферромагнетизма с малыми моментами можно пренебречь зависимостью гибридизации от σ, так как поправки вследствие спиновой поляризации имеют структуру $(J_{\mathbf{Q}}\bar{S})^2/(t_{\mathbf{k}+\mathbf{Q}} - t_{\mathbf{k}})$ $\mathbf{Q}$ – волновой вектор магнитной структуры) и пропорциональны $(J_{\mathbf{Q}}\bar{S})^2/W$. Таким образом, критерий антиферромагнетизма принимает обычную форму:

$$J_{\mathbf{Q}}\chi_{\mathbf{Q}} > 1, \tag{43}$$

где $\chi_{\mathbf{Q}}$ — восприимчивость невзаимодействующих f-псевдофермионов в эффективной гибридизационной модели. Благодаря гибридизационным пикам вклад от межзонных переходов оказывается большим: $\chi_{\mathbf{Q}} \sim 1/T_{\mathrm{K}}$. Следовательно, антиферромагнетизм появляется при

$$J_{\mathbf{Q}} > \nu T_{\mathrm{K}}, \tag{44}$$

где постоянная ν порядка единицы определяется зонной структурой. Следует, однако, отметить, что согласно численным результатам для квадратной решетки [131] момент не является малым, а фазовая диаграмма достаточно сложна (рис. 10), причем сосуществование кондовского состояния и антиферромагнетизма имеет место при достаточно больших $|I|$ и J. Для последовательного рассмотрения здесь важен также учет спиральных магнитных состояний [135]. Эти проблемы требует дальнейшего исследования.

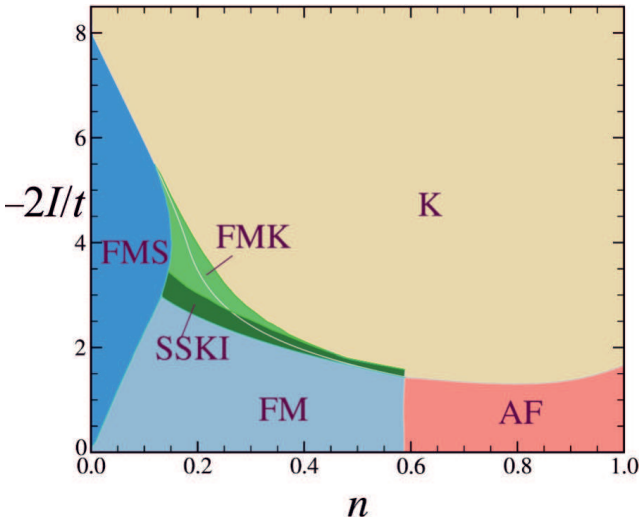


Рис. 10: Магнитная фазовая диаграмма для модели Кондо на квадратной решетке [131]. FMS и FM – насыщенный и ненасыщенный ферромагнетизм без кондовской компенсации, SSKI и FMK – фазы сосуществования эффекта Кондо и насыщенного (полуметаллического) и ненасыщенного ферромагнетизма соответственно

Нетривиальной проблемой является вопрос, как влияют на магнетизм флуктуаций за пределами приближения среднего поля. Простые спин-волновые поправки,

которые обсуждались в работе [86], дают лишь формально небольшие вклады в намагниченность основного состояния порядка $j \ln j$ (которые к тому же отсутствуют в ПМФ состоянии). Более последовательное рассмотрение флуктуаций может быть выполнено с использованием подхода вспомогательных бозонов и $1/N$-разложения в рамках периодических моделей Андерсона или Коблина-Шриффера [136]. Для картины экзотической ферми-жидкости флуктуации изучались в работе [110] в рамках псевдофермионнного представления с одновременным использованием вспомогательного бозона (типа поля Хиггса).

Поведение кондовских магнетиков при конечных температурах обычно трактуется в рамках теории типа Стонера с гибридизационным спектром [131, 132], что по большому счету не оправдано: флуктуационные эффекты должны быть даже важнее, чем в основном состоянии (как и в обычных зонных магнетиках [95]). Они обсуждаются в [110], где показано, что температурный фазовый переход из кондовского состояния в обычную ферми-жидкость на самом деле является плавным (кроссовером).

6 Заключение

Магнетизм решеток Кондо представляет собой сложный феномен: они проявляют черты магнетиков как с коллективизированными электронами, так и с локализованными моментами. При определенных условиях магнитная неустойчивость может иметь место при очень малых (даже по сравнению с T_K) значениях межузельного обмена J, что характерно для гейзенберговских систем. С другой стороны, магнитное упорядочение весьма чувствительно к электронной структуре, как и для коллективизированных систем. Особенно ярко эта двойственность проявляется в подходах, использующих представление псевдофермионов, которые практически становятся реальными и принимают участие в формировании поверхности Ферми.

Описанные механизмы формирования магнитного состояния с подавленным моментом насыщения μ_s значительно отличаются от обычного механизма для зонных ферромагнетиков, которые, как предполагается, в грубом приближении описываются теорией Стонера. Однако, поскольку и энергетический спектр новых фермиевских квазичастиц, и эффективное взаимодействие между ними претерпевают сильные перенормировки, для кондовских ферромагнетиков неприменим критерий Стонера (или, в случае антиферромагнетизма, критерий Оверхаузера для формирования волны спиновой плотности) с затравочными параметрами. Скорее его можно применять к эффективной модели в сильно коррелированном состоянии с «большой» поверхностью Ферми, однако и здесь ситуация оказывается существенно более сложной.

Как мы видели, современная теория описывает магнитные решеток Кондо как сильно коррелированные системы. Так как существует непрерывный переход между кондо-решетками и «стандартными» системами коллективизированных электронов (в частности, обычные паулиевские парамагнетики могут рассматриваться как системы с высоким T_K — порядка энергии Ферми), возникает вопрос относительно роли, которую многоэлектронные эффекты играют в «классических» слабых зонных магнетиках, подобных $ZrZn_2$. Может оказаться, что близость основного состояния

к точке стонеровской неустойчивости, т. е. малость μ_s, в последних системах возникает из-за перенормировок параметра взаимодействия U и химпотенциала, а не из-за случайных затравочных значений $N(E_\mathrm{F})$. Действительно, в такую случайность трудно поверить, поскольку отклонение от граничного условия Стонера $UN(E_\mathrm{F}) = 1$ является крайне малым.

Все это дает и новый взгляд на физику обычных слабых коллективизированных магнетиков: их можно рассматривать не с зонной точки зрения, а с точки зрения локальных магнитных моментов, которые почти скомпенсированы. Сейчас уже стало обычным совместно обсуждать решетки Кондо и зонные магнетики [137, 138] и трактовать UPt_3, $CeSi_x$ и $CeRh_3B_2$ как слабые коллективизированные магнетики (см., напр., [139]). Таким образом, теория кондовских магнетиков приобретает важное значение для общей теории магнетизма.

Автор благодарен М.И. Кацнельсону и В.Н. Никифорову – соавторам работ по физике решеток Кондо – за многочисленные обсуждения. Работа выполнена в рамках государственного задания ФАНО (тема «Квант», No. 01201463332) и частично поддержана грантом УрО РАН 15-8-2-9.

Список литературы

[1] Н. Б. Брандт, В. В. Мощалков, УФН **149**, 585 (1986)

[2] J. Kondo, Solid State Physics. Vol. 23. Eds. F. Seitz, D. Turnbull, H. Ehrenreich. N. Y.: Academic Press, 1969, p. 183

[3] В. Ю. Ирхин, Ю.П. Ирхин. Электронная структура, физические свойства и корреляционные эффекты в d- и f-металлах и их соединениях. Екатеринбург: УрО РАН, 2004.

[4] В. Ю. Ирхин, М. И. Кацнельсон, ФММ N1, 16 (1991)

[5] V.Yu. Irkhin and M.I. Katsnelson, Phys.Rev.B**56**, 8109 (1997)

[6] A. M. Tsvelick, P. B. Wiegmann, Adv. Phys. **32**, 745 (1983)

[7] G. R. Stewart, Rev. Mod. Phys. **56**, 755 (1984)

[8] H. v. Lohneysen, A. Rosch, M. Vojta, P. Wolfle, Rev. Mod. Phys. **7**9, 1015 (2007)

[9] P. Coleman, Heavy Fermions: electrons at the edge of magnetism, In: Handbook of Magnetism and Advanced Magnetic Materials. Ed. H. Kronmuller and S. Parkin. Vol 1: Fundamentals and Theory. Wiley, p. 95-148 (2007); arXiv 0612006.

[10] M. B. Maple et al. J. Low Temp. Phys. **95**, 225 (1994); J. Low Temp. Phys. **99**, 223 (1995)

[11] Proc. Conf. on Non-Fermi-Liquid Behaviour in Metal (Santa-Barbara, 1995), J. Phys.: Condens. Matter. **8**, 9675-10148 (1996)

[12] G. R. Stewart, Rev. Mod. Phys. **73**, 797 (2001)

[13] M. Kasaya et al, J. Magn. Magn. Mater. **76-77**, 347 (1988)

[14] D.T. Adroja et al, J. Magn. Magn. Mater. **272-276**, 622 (2004)

[15] M. Kratochvilova et el, J. Cryst. Growth **397**, 47 (2014)

[16] J. Larrea et al, Phys. Rev. B **72**, 035129 (2005)

[17] S. Sullow et al, Phys. Rev. Lett. **82**, 2963 (1999)

[18] V. A. Sidorov et al, Phys. Rev. B **67**, 224419 (2003)

[19] C. Krellner et al, Phys. Rev. B **76**, 104418 (2007)

[20] R. E. Baumbach et al, J. Phys.: Condens. Matter **24**, 325601 (2012)

[21] H. Sakai et al, Phys. Rev. B **86**, 094402 (2012)

[22] A. Prasad et al, Phys. Rev. B **86**, 014414 (2012)

[23] B. Chevalier et al, Journal of Alloys and Compounds **383**, 4 (2004)

[24] R. Viennois et al, Phys. Rev. B **80**, 155109 (2009)

[25] V. N. Nikiforov et al, Physica B **443**, 80 (2014)

[26] A. Slebarski et al, Phys. Rev. B **70**, 184429 (2004).

[27] L. Li et al, Phys. Rev. B **80**, 134429 (2009)

[28] R. E. Baumbach et al, Phys. Rev. B **85**, 094422 (2012)

[29] E. Matsuoka et al, J. Phys. Soc. Jpn. **81**, 043704 (2012)

[30] R. E. Baumbach et al, J. Phys.: Condens. Matter **24**, 325601 (2012)

[31] A. Bhattacharyya et al, Phys. Rev. B **93**, 060410 (2016)

[32] D. K. Singh et al, Phys. Rev. B **86**, 060405 (2012)

[33] J.D. Thompson et al, Physica B 329-333, 446 (2003)

[34] P. F. S. Rosa et al, Phys. Rev. B 92, 134421 (2015)

[35] T. Park et al, Phys. Rev. B **72**, 060410 (2005)

[36] W.H. Lee et al, Phys.Rev. B **42**, 6542 (1990)

[37] D.T. Adroja and B.D. Rainford, J. Mugn. Magn. Mater. **119**, 54 (1993)

[38] V.K. Pecharsky, K.A.Gschneidner Jr., L.L. Miller, Phys. Rev. B**43**, 10906 (1991)

[39] V.N. Nikiforov et al, Physica B**186-188**, 514 (1993)

[40] V. N. Duginov et al, Phys.Rev. B **55**, 12343 (1997)

[41] V. N. Nikiforov, M. Baran, A. Jedrzejczak, V. Yu. Irkhin, European Phys. Journ. B **86,** 238 (2013)

[42] В.Н. Никифоров, M. Baran, В.Ю. Ирхин, ЖЭТФ, **143**, 929 (2013)

[43] R. Daou, C. Bergemann and S. R. Julian, Phys. Rev. Lett. **96**, 026401 (2006)

[44] Y. H. Matsuda et al, Phys. Rev. B**86**, 041109 (2012)

[45] M. Kasaya et al, J.Phys.Soc.Jpn **60**, 3145 (1991)

[46] V.N. Nikiforov et al, Phys. Lett. A **378**, 1425 (2014)

[47] В.Н.Никифоров и др., ФТТ **36**, 471 (1994)

[48] K. Katoh et al, J. Phys. Soc. Jpn. **78**, 104721 (2009)

[49] K. Enoki et al, J. Phys. Soc. Jpn 81 (2012) SB056.

[50] Y. Itoh, H. Kadomatsu, Journal of Alloys and Compounds **280**, 39 (1998)

[51] J. Sakurai et al, Journal of Magnetism and Magnetic Materials **90–91**, 422 (1990)

[52] J. Flouquet, In: Progress in Low Temperature Physics, Ed. W.P. Halperin, Elsevier, Amsterdam, 2005

[53] N Tsujii, H Kitazawa, Solid State Communications, **159**, 65 (2013)

[54] K.Katoh et al, Journ. Magn. Magn. Mater. **268**, 212 (2004)

[55] P. Bonville et al, Eur.J.Physics of Condensed Matter **55**, 77 (2006)

[56] G. M. Schmiedeshoff et al, Phys. Rev. B **83**, 180408(R) (2011)

[57] S. Lausberg et al, Phys. Rev. Lett. **110**, 256402 (2013)

[58] F. Kikuchi et al, J. Phys. Soc. Jpn. **78**, 083708 (2009)

[59] E. Bauer et al, J. Phys.: Condens. Matter **17**, S999 (2005)

[60] C Krellner et al, New Journal of Physics **13**, 103014 (2011)

[61] К. Г. Гуртовой, Р. З. Левитин, УФН **153**, 193 (1987)

[62] J. M. Lawrence et al, J. Phys.: Condens. Matter **23**, 094210 (2011)

[63] N. B. Perkins et al, Phys. Rev. B **76**, 125101 (2007)

[64] J. Schoenes, B. Frick and O. Vogt, Phys. Rev. B **30**, 6578 (1984)

[65] J. Schoenes, R. L. Withers and F. Hulliger, J. Magn. Magn. Mater. **310**, 1778 (2007)

[66] Z. Bukowski et al, J. Alloys and Compounds **403**, 65 (2005)

[67] V. H. Tran et al, Phys. Rev. B **71**, 094428 (2005)

[68] T. Taniguchi et al, J. Magn. Magn. Mater. **177-181**, 55 (1998)

[69] E. Colineau et al, Journal of Physics: Condensed Matter, **20**, 075207 (2008)

[70] V. H. Tran et al, Phys. Rev. B **89**, 054424 (2014)

[71] E. D. Bauer et al, Phys Rev B **74**, 155118 (2006)

[72] C. Tabata et al, Phys. Rev. B **94**, 214414 (2016)

[73] M. Lenkewitz et al, Phys. Rev. B **55**, 6409 (1997).

[74] N. T. Huy et al, Phys. Rev. B **75**, 212405 (2007)

[75] E Colineau1 et al, J. Phys.: Condens. Matter **20**, 255234 (2008)

[76] M. Valiska et al, Phys. Rev. B **92**, 045114 (2015)

[77] E. D. Bauer et al, Phys.Rev.Lett. **94**, 046401 (2005)

[78] В. П. Минеев, УФН, **187**, 129 (2017)

[79] S. Doniach, Physica B**91,** 231 (1977)

[80] D.L. Cox and A. Zawadowski, Adv. Phys. **47**, 599 (1998)

[81] K. G. Wilson, Rev. Mod. Phys. **47**, 773 (1975)

[82] P. Nozieres, A. Blandin, J. de Phys. **41**, 193 (1980)

[83] D. Bensimon, A. Jerez, and M. Lavagna, Phys. Rev. B **73**, 224445 (2006)

[84] V. Yu. Irkhin, M. I. Katsnelson. Z. Phys. B **75**, 67 (1989)

[85] V.Yu. Irkhin, Eur.Phys. J. B. **89**, 117 (2016)

[86] V. Yu. Irkhin, M. I. Katsnelson, Z. Phys. B **82**, 77 (1991)

[87] P. W. Anderson, J. Phys. C: Solid State Phys. **3**, 2436 (1970)

[88] V. Yu. Irkhin, M. I. Katsnelson, J. Phys.: Condens. Matter. **4**, 9661 (1992)

[89] V.Yu. Irkhin and M.I. Katsnelson, Phys.Rev. B**59**, 9348 (1999)

[90] M. Matsumoto et al, Phys. Rev. Lett. **103**, 096403 (2009)

[91] T. T. Ong, B. A. Jones. Phys. Rev.Lett. **103**, 066405 (2009)

[92] Q. Si and F. Steglich, Science **329**, 1161 (2010)

[93] E. Miranda, V. Dobrosavljevic, and G. Kotliar, J. Phys. Condens. Matter **8**, 9871 (1996)

[94] A. H. Castro Neto and B. A. Jones, Phys. Rev. B **62**, 14 975 (2000)

[95] Т. Мория, Спиновые флуктуации в магнетиках с коллективизированными электронами: М.: Мир, 1988.

[96] A. J. Millis, Phys. Rev. B **48**, 7183 (1993)

[97] D. Belitz et al., Phys. Rev. B **63**, 174427 (2001)

[98] V. Yu. Irkhin, M. I. Katsnelson, Phys.Rev. B **62**, 5647 (2000)

[99] A. Kampf and J.R.Schrieffer, Phys.Rev.B **41**, 6399 (1990)

[100] T.Moriya, Y.Takahashi, and K.Ueda, J.Phys.Soc.Jpn **59**, 2905 (1990)

[101] B. Andraka and A. M. Tsvelik, Phys.Rev.Lett.**67**, 2886 (1991)

[102] P.Coleman, L.B. Ioffe, and A. M. Tsvelik, Phys.Rev.B**52**, 6611 (1995)

[103] J. Gan, J. Phys.: Condens. Matter **6**, 4547 (1994)

[104] V.Yu. Irkhin and M.I. Katsnelson, Phys. Rev. B **61**, 14640 (2000)

[105] V.Yu. Irkhin, J. Phys.: Condens. Matter **23**, 065602 (2011)

[106] V.Yu.Irkhin, A.A.Katanin, M.I.Katsnelson, Phys. Rev. Lett. **89**, 076401 (2002)

[107] V.Yu. Irkhin, ЖЭТФ **152**, 189 (2017); arXiv:1611.04391

[108] С. В. Вонсовский, М. И. Кацнельсон, А. В. Трефилов, ФММ **76**, N3, 3 (1993)

[109] S. E. Barnes. Phys. Rev. B **33**, 3209 (1986)

[110] T. Senthil, M. Vojta, S. Sachdev, Phys. Rev. B **69**, 035111 (2004)

[111] J. Hubbard, Roy. Soc. A **276**, 238 (1963)

[112] Sh. Hoshino and Y. Kuramoto, Phys. Rev. Lett. **111**, 026401 (2013)

[113] Coleman P., Nevidomskyy A.H. J Low Temp Phys **161**, 182 (2010)

[114] L. Isaev, I. Vekhter, Phys. Rev. Lett. **110**, 026403 (2013)

[115] S. Friedemann et al, Nature Physics **5**, 465 (2009)

[116] O. Stockert et al, Physica B **403**, 973 (2008)

[117] V. Fritsch et al, J. Phys.: Conf. Series **807**, 032003 (2017)

[118] V. Yu. Irkhin, M. I. Katsnelson, Phys.Lett. A **150**, 47 (1990)

[119] S. V. Vonsovsky, V. Yu. Irkhin, M. I. Katsnelson. Physica B **171**, 135 (1991)

[120] P. Coleman, N. Andrei, J. Phys.: Condens. Matter. **1**, 4057 (1989)

[121] V. Yu. Irkhin, M. I. Katsnelson, J. Phys.: Cond. Mat.**2**, 8715 (1990)

[122] V.Yu. Irkhin, Eur.Phys. J. B **87**, 103 (2014)

[123] C. Lacroix and M. Cyrot, Phys. Rev. B **20**, 1969 (1979)

[124] B. Moller and P. Wolfle Phys. Rev. B **48**, 10320 (1993)

[125] P. Fazekas and E. Mueller-Hartmann, Z.Phys. B **85**, 285 (1991)

[126] X.-G. Wen, Quantum Field Theory of Many-Body Systems—From the Origin of Sound to an Origin of Light and Electrons, Oxford University Press, Oxford, 2004.

[127] P.A. Lee, N. Nagaosa, and X.-G. Wen, Rev. Mod. Phys. **78**, 17 (2006)

[128] T.R. Kirkpatrick, D. Belitz, Fortschr. Phys. **65**, 1600028 (2017)

[129] M. I. Katsnelson et al, Rev. Mod. Phys. **80**, 315 (2008)

[130] R. Peters, N. Kawakami, and T. Pruschke, Phys. Rev. Lett. **108**, 086402 (2012)

[131] B. H. Bernhard and C. Lacroix, Phys. Rev. B **92**, 094401 (2015)

[132] G. B. Liu, G. M. Zhang, and L. Yu, Phys. Rev. B **81**, 094420 (2010)

[133] F. Marabelli, P. Wachter, J. Magn. Magn. Mater. **70**, 364 (1987)

[134] F. Givord et al, J. Phys.: Cond. Mat. **16**, 1211 (2004)

[135] P.A. Igoshev et al, J. Magn. Magn. Mater. **440**, 66 (2017)

[136] P. Coleman, Phys. Rev. B**35**, 5072 (1987)

[137] F. J. Ohkawa, Phys. Rev. B**65**, 174424 (2002)

[138] M. Vojta, Phys. Rev. B**78**, 125109 (2008)

[139] S. K. Dhar et al, Phys. Rev. B **36**, 341 (1987)